

# Traitement statistique et approche système

Benoît Marx

Centre de Recherche en Automatique de Nancy (CRAN)  
Ecole Nationale Supérieure de Géologie (ENSG)

disponible sur Arche et à l'adresse : [cran.univ-lorraine.fr/benoit.marx](http://cran.univ-lorraine.fr/benoit.marx)

# Plan de la partie *Approche système*

- 1 Rappels sur les signaux et systèmes
  - Représentation d'un procédé
  - Outils d'analyse d'un procédé
  - Vers la conduite d'un procédé
- 2 Introduction à la commande en boucle fermée
  - Introduction (sur un exemple)
  - Effet de la BF sur des systèmes simples (ordre 1 et 2)
  - Structures générales de commande
- 3 Performances et robustesse en BF
  - Stabilité (critère de Routh)
  - Précision
  - Robustesse
  - Robustesse aux perturbations
- 4 Quelques correcteurs et leurs réglages
  - Correcteurs élémentaires (P, PI, retard de  $\varphi$ , PID)
  - Correcteur à avance de phase
  - Approche temporelle du réglage de correcteurs
- 5 Identification de procédés
  - Obtention d'un modèle statique
  - Obtention d'un modèle dynamique à temps continu

## **Approche système (4CM + 4TD)**

- Ne pas oublier tout de suite ce qui a été vu en TdS
- Aller plus loin dans l'analyse des performances d'un processus
- Être capable d'améliorer les performances d'un processus, en la fermant (la boucle)
- Être capable de déterminer un modèle à partir de données mesurées

## **Evaluation de la partie Approche système**

- Examen en fin de module

## 1.2 Rappels sur les signaux et systèmes

**Un système est défini par :**

- une frontière
- des variables d'entrée et de sortie
- des liens fonctionnels entre les grandeurs d'entrée/sortie



**On fait généralement quelques hypothèses :**

- linéarité (au moins locale)
- invariance dans le temps
- causalité

# 1.3 Rappels : représentation d'un procédé

## On cherche une représentation d'un procédé :

- calcul d'un point d'équilibre pour entrée(s) constante(s)
- linéarisation autour du point d'équilibre
- mise sous forme de fonction de transfert
- principe de superposition
- schéma blocs

## pour pouvoir :

- analyser / évaluer
- simuler le fonctionnement
- améliorer les performances

## 1.3 Exemple introductif

On considère un **chemostat**, utilisé pour la production contrôlée d'une bactérie nourrie par l'apport d'un substrat.

- **Modèle (non linéaire) du chemostat:**

$$\begin{cases} \frac{dx(t)}{dt} = \mu \frac{s(t)}{k+s(t)} x(t) - D(t)x(t) \\ \frac{ds(t)}{dt} = -\mu \frac{s(t)}{k+s(t)} x(t) + D(t)(s_{in}(t) - s(t)) \end{cases}$$

$x(t)$  : concentration en bactérie       $D(t)$  : débit entrant (contenant le substrat)  
 $s(t)$  : concentration en substrat       $s_{in}(t)$  : concentration en substrat à l'entrée

## 1.3 Exemple introductif

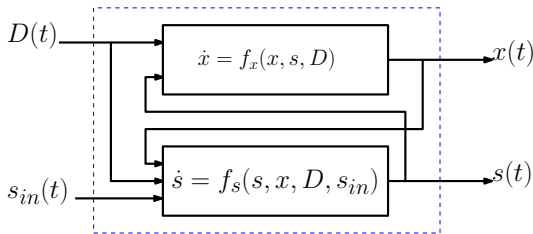
On considère un **chemostat**, utilisé pour la production contrôlée d'une bactérie nourrie par l'apport d'un substrat.

- **Modèle (non linéaire) du chemostat:**

$$\begin{cases} \frac{dx(t)}{dt} = \mu \frac{s(t)}{k+s(t)} x(t) - D(t)x(t) \\ \frac{ds(t)}{dt} = -\mu \frac{s(t)}{k+s(t)} x(t) + D(t)(s_{in}(t) - s(t)) \end{cases}$$

$x(t)$  : concentration en bactérie       $D(t)$  : débit entrant (contenant le substrat)  
 $s(t)$  : concentration en substrat       $s_{in}(t)$  : concentration en substrat à l'entrée

- **Schéma fonctionnel :**



## 1.3 Rappels : calcul d'un point d'équilibre

- Le chemostat est défini par :

$$\begin{cases} \frac{dx(t)}{dt} = \mu \frac{s(t)}{k+s(t)} x(t) - D(t)x(t) \\ \frac{ds(t)}{dt} = -\mu \frac{s(t)}{k+s(t)} x(t) + D(t)(s_{in}(t) - s(t)) \end{cases}$$

- Point d'équilibre pour  $D(t) = D_0$  et  $s_{in}(t) = s_{in0}$**

$$\begin{cases} \mathbf{0} = \mu \frac{s(t)}{k+s(t)} x(t) - \mathbf{D}_0 x(t) \\ \mathbf{0} = -\mu \frac{s(t)}{k+s(t)} x(t) + \mathbf{D}_0 (s_{in0} - s(t)) \end{cases}$$

## 1.3 Rappels : calcul d'un point d'équilibre

- Le chemostat est défini par :

$$\begin{cases} \frac{dx(t)}{dt} = \mu \frac{s(t)}{k+s(t)} x(t) - D(t)x(t) \\ \frac{ds(t)}{dt} = -\mu \frac{s(t)}{k+s(t)} x(t) + D(t)(s_{in}(t) - s(t)) \end{cases}$$

- Point d'équilibre pour  $D(t) = D_0$  et  $s_{in}(t) = s_{in0}$**

$$\begin{cases} \mathbf{0} = \mu \frac{s(t)}{k+s(t)} x(t) - \mathbf{D_0} x(t) \\ \mathbf{0} = -\mu \frac{s(t)}{k+s(t)} x(t) + \mathbf{D_0}(s_{in0} - s(t)) \end{cases}$$

- On détermine les valeurs des sorties à l'équilibre :

$$\begin{cases} s_0 = \frac{kD_0}{\mu - D_0} \\ x_0 = s_{in0} - \frac{kD_0}{\mu - D_0} \end{cases}$$

# 1.3 Rappels : linéarisation

## Linéarisation autour du point d'équilibre $(D_0, s_0, s_{in0}, x_0)$

- Variations autour du point d'équilibre définies par :

$$\delta D(t) = D(t) - D_0$$

$$\delta x(t) = x(t) - x_0$$

$$\delta s(t) = s(t) - s_0$$

$$\delta s_{in}(t) = s_{in}(t) - s_{in0}$$

## 1.3 Rappels : linéarisation

### Linéarisation autour du point d'équilibre $(D_0, s_0, s_{in0}, x_0)$

- Variations autour du point d'équilibre définies par :

$$\delta D(t) = D(t) - D_0$$

$$\delta s(t) = s(t) - s_0$$

$$\delta x(t) = x(t) - x_0$$

$$\delta s_{in}(t) = s_{in}(t) - s_{in0}$$

- Développement de Taylor à partir du point d'équilibre

$$\begin{cases} \dot{x}(t) = f_x(x, s, D) \\ \dot{s}(t) = f_s(x, s, D, s_{in}) \end{cases}$$

# 1.3 Rappels : linéarisation

## Linéarisation autour du point d'équilibre $(D_0, s_0, s_{in0}, x_0)$

- Variations autour du point d'équilibre définies par :

$$\delta D(t) = D(t) - D_0$$

$$\delta s(t) = s(t) - s_0$$

$$\delta x(t) = x(t) - x_0$$

$$\delta s_{in}(t) = s_{in}(t) - s_{in0}$$

- Développement de Taylor à partir du point d'équilibre

$$\begin{cases} \dot{x}(t) = f_x(x, s, D) \\ \dot{s}(t) = f_s(x, s, D, s_{in}) \end{cases}$$

- On obtient :

$$\begin{cases} \dot{\delta x}(t) = \underbrace{f_x(x_0, s_0, D_0)}_{=0} + \left(\frac{\partial f_x}{\partial x}\right)_{eq} \delta x(t) + \left(\frac{\partial f_x}{\partial s}\right)_{eq} \delta s(t) + \left(\frac{\partial f_x}{\partial D}\right)_{eq} \delta D(t) \\ \dot{\delta s}(t) = \underbrace{f_s(x_0, s_0, D_0, s_{in0})}_{=0} + \left(\frac{\partial f_s}{\partial x}\right)_{eq} \delta x(t) + \left(\frac{\partial f_s}{\partial s}\right)_{eq} \delta s(t) + \left(\frac{\partial f_s}{\partial D}\right)_{eq} \delta D(t) + \left(\frac{\partial f_s}{\partial s_{in}}\right)_{eq} \delta s_{in}(t) \end{cases}$$

# 1.3 Rappels : fonctions de transfert

## Mise sous forme de fonction de transfert

- Proche du point d'équilibre, le procédé est décrit par :

$$\begin{cases} \dot{\delta x}(t) = \left(\frac{\partial f_x}{\partial x}\right)_{eq} \delta x(t) + \left(\frac{\partial f_x}{\partial s}\right)_{eq} \delta s(t) + \left(\frac{\partial f_x}{\partial D}\right)_{eq} \delta D(t) \\ \dot{\delta s}(t) = \left(\frac{\partial f_s}{\partial x}\right)_{eq} \delta x(t) + \left(\frac{\partial f_s}{\partial s}\right)_{eq} \delta s(t) + \left(\frac{\partial f_s}{\partial D}\right)_{eq} \delta D(t) + \left(\frac{\partial f_s}{\partial s_{in}}\right)_{eq} \delta s_{in}(t) \end{cases}$$

# 1.3 Rappels : fonctions de transfert

## Mise sous forme de fonction de transfert

- Proche du point d'équilibre, le procédé est décrit par :

$$\begin{cases} \dot{\delta x}(t) = \left(\frac{\partial f_x}{\partial x}\right)_{eq} \delta x(t) + \left(\frac{\partial f_x}{\partial s}\right)_{eq} \delta s(t) + \left(\frac{\partial f_x}{\partial D}\right)_{eq} \delta D(t) \\ \dot{\delta s}(t) = \left(\frac{\partial f_s}{\partial x}\right)_{eq} \delta x(t) + \left(\frac{\partial f_s}{\partial s}\right)_{eq} \delta s(t) + \left(\frac{\partial f_s}{\partial D}\right)_{eq} \delta D(t) + \left(\frac{\partial f_s}{\partial s_{in}}\right)_{eq} \delta s_{in}(t) \end{cases}$$

- La transformée de Laplace ayant la propriété :

$$\mathcal{L}(\dot{\delta x}(t)) = p\Delta X(p) - \delta x(0)$$

les équations différentielles  $\rightarrow$  équations polynomiales en  $p$

# 1.3 Rappels : fonctions de transfert

## Mise sous forme de fonction de transfert

- Proche du point d'équilibre, le procédé est décrit par :

$$\begin{cases} \dot{\delta x}(t) = \left(\frac{\partial f_x}{\partial x}\right)_{eq} \delta x(t) + \left(\frac{\partial f_x}{\partial s}\right)_{eq} \delta s(t) + \left(\frac{\partial f_x}{\partial D}\right)_{eq} \delta D(t) \\ \dot{\delta s}(t) = \left(\frac{\partial f_s}{\partial x}\right)_{eq} \delta x(t) + \left(\frac{\partial f_s}{\partial s}\right)_{eq} \delta s(t) + \left(\frac{\partial f_s}{\partial D}\right)_{eq} \delta D(t) + \left(\frac{\partial f_s}{\partial s_{in}}\right)_{eq} \delta s_{in}(t) \end{cases}$$

- La transformée de Laplace ayant la propriété :

$$\mathcal{L}(\dot{\delta x}(t)) = p\Delta X(p) - \delta x(0)$$

les équations différentielles  $\rightarrow$  équations polynomiales en  $p$

- Si la condition initiale est le point d'équilibre :  $\delta x(0) = 0$  :

$$\begin{cases} \Delta X(p) = H_{sx}(p)\Delta S(p) + H_{Dx}(p)\Delta D(p) \\ \Delta S(p) = H_{xs}(p)\Delta X(p) + H_{Ds}(p)\Delta D(p) + H_{s_{in}s}\Delta S_{in}(p) \end{cases}$$

où  $\mathcal{L}(\delta x(t)) = \Delta X(p)$ ,  $\mathcal{L}(\delta s(t)) = \Delta S(p)$ , etc.

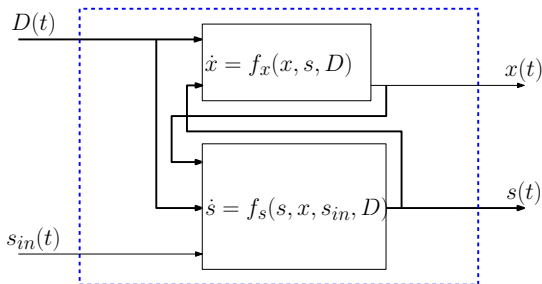
où toutes les fonctions de transfert sont des fonctions du premier ordre.

## 1.3 Rappels : Schéma bloc

Le chemostat est décrit en  $p$  par :

$$\begin{cases} \Delta X(p) = H_{sx}(p)\Delta S(p) + H_{Dx}(p)\Delta D(p) \\ \Delta S(p) = H_{xs}(p)\Delta X(p) + H_{Ds}(p)\Delta D(p) + H_{sin_s}\Delta S_{in}(p) \end{cases}$$

Le schéma fonctionnel

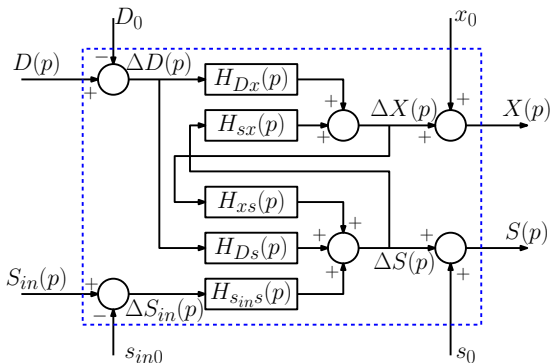


## 1.3 Rappels : Schéma bloc

Le chemostat est décrit en  $p$  par :

$$\begin{cases} \Delta X(p) = H_{sx}(p)\Delta S(p) + H_{Dx}(p)\Delta D(p) \\ \Delta S(p) = H_{xs}(p)\Delta X(p) + H_{Ds}(p)\Delta D(p) + H_{sin s}\Delta S_{in}(p) \end{cases}$$

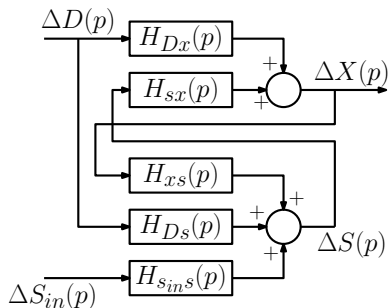
Le schéma fonctionnel devient un schéma bloc



## 1.3 Rappels : principe de superposition

La réponse d'un système linéaire a plusieurs entrées est la somme des réponses à chaque entrée, calculée en annulant les autres.

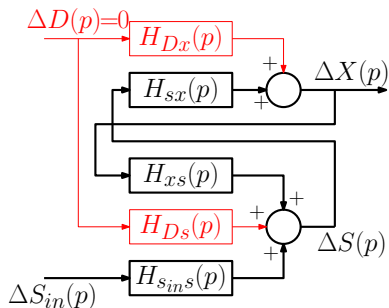
$$\Delta X(p) = H_1(p)\Delta S_{in}(p) + H_2(p)\Delta D(p)$$



## 1.3 Rappels : principe de superposition

La réponse d'un système linéaire a plusieurs entrées est la somme des réponses à chaque entrée, calculée en annulant les autres.

$$\Delta X(p) = H_1(p)\Delta S_{in}(p) + H_2(p)\Delta D(p)$$

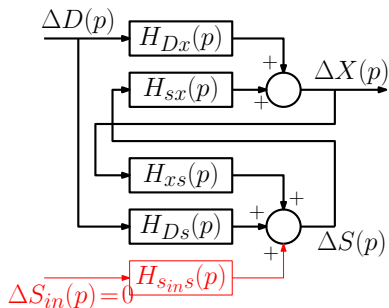


$$H_1(p) = \frac{H_{sins}(p)H_{sx}(p)}{1 - H_{xs}(p)H_{sx}(p)}$$

## 1.3 Rappels : principe de superposition

La réponse d'un système linéaire a plusieurs entrées est la somme des réponses à chaque entrée, calculée en annulant les autres.

$$\Delta X(p) = H_1(p)\Delta S_{in}(p) + H_2(p)\Delta D(p)$$



$$H_1(p) = \frac{H_{sin s}(p)H_{sx}(p)}{1 - H_{xs}(p)H_{sx}(p)}$$

$$H_2(p) = \frac{H_{Dx}(p) + H_{Ds}(p)H_{sx}(p)}{1 - H_{sx}(p)H_{xs}(p)}$$

# 1.3 Rappels : superposition et linéarisation

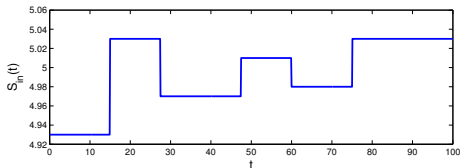
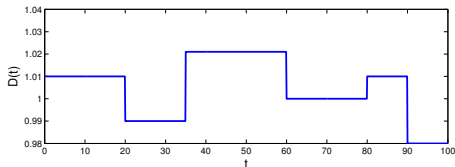
## Validation du modèle linéaire en simulation

On utilise les valeurs numériques suivantes :

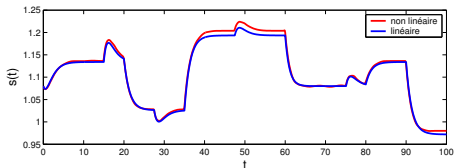
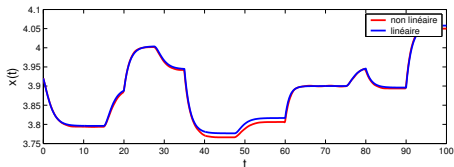
$$\mu = 1.25 \quad k = 0.27 \quad D_0 = 1 \quad S_{in0} = 5$$

$$x_0 = 3.92 \quad s_0 = 1.08$$

les entrées  $D(t)$  et  $S_{in}(t)$  :



les sorties  $x(t)$  et  $s(t)$  :



Le modèle linéaire est correct, surtout pour  $x(t)$  et  $s(t)$  proches de  $x_0$  et  $s_0$

## 1.3 Rappels. Outils d'analyse d'un système

Pour  $\delta D(t) = 0$  et  $\delta s_{in}(t) = \sin(\omega t)$  on a :  $\Delta X(p) = H_1(p)\Delta S_{in}(p)$

- **analyse fréquentielle**

→ la réponse à un sinus est un sinus **amplifié** et **déphasé** :

$$\delta x(t) = G_1(\omega) \sin(\omega t + \Phi_1(\omega))$$

avec  $G_1(\omega) = |H_1(j\omega)|$  et  $\Phi_1(\omega) = \text{Arg}(H_1(j\omega))$

→ représentation par le diagramme de bode, en échelle log pour  $\omega$

→ bande passante : intervalle de  $\omega$  où le gain est proche de son max

## 1.3 Rappels. Outils d'analyse d'un système

Pour  $\delta D(t) = 0$  et  $\delta s_{in}(t) = \sin(\omega t)$  on a :  $\Delta X(p) = H_1(p)\Delta S_{in}(p)$

- **analyse fréquentielle**

→ la réponse à un sinus est un sinus **amplifié** et **déphasé** :

$$\delta x(t) = G_1(\omega) \sin(\omega t + \Phi_1(\omega))$$

$$\text{avec } G_1(\omega) = |H_1(j\omega)| \quad \text{et} \quad \Phi_1(\omega) = \text{Arg}(H_1(j\omega))$$

→ représentation par le diagramme de bode, en échelle log pour  $\omega$

→ bande passante : intervalle de  $\omega$  où le gain est proche de son max

- **analyse temporelle**

→ rapport sortie/entrée en permanent : gain statique  $G_1(0)$

→ temps de réponse donné par les racines du dénominateur de  $\Delta X(p)$

→ racines réelles : exponentielles

→ racines complexes : sinus (ou cosinus) modulé par exponentielles

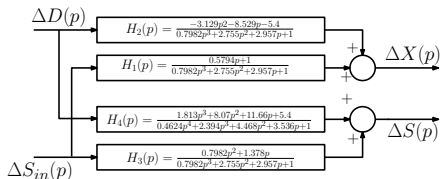
→ racines complexes à parties réelles positive : instable (*sortie*  $\rightarrow \pm\infty$ )

→ racines complexes à parties réelles négatives : stable (*sortie*  $\rightarrow 0$ )

# 1.4 Intro à la commande sur l'exemple du chemostat

**Objectif :** la concentration en  $x(t)$  doit suivre une référence  $x_{ref}(t)$

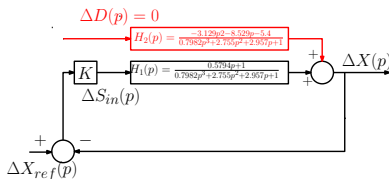
- moyen d'action : modifier  $S_{in}(t)$  et / ou  $D(t)$
- évaluation du résultat : comparer  $x_{ref}(t)$  et  $x(t)$
- influence des entrées sur  $x(t)$  :  $H_1(0) = 1$  et  $H_2(0) = -5.4$



# 1.4 Intro à la commande sur l'exemple du chemostat

**Objectif :** la concentration en  $x(t)$  doit suivre une référence  $x_{ref}(t)$

- moyen d'action : modifier  $S_{in}(t)$  et / ou  $D(t)$
- évaluation du résultat : comparer  $x_{ref}(t)$  et  $x(t)$
- influence des entrées sur  $x(t)$  :  $H_1(0) = 1$  et  $H_2(0) = -5.4$



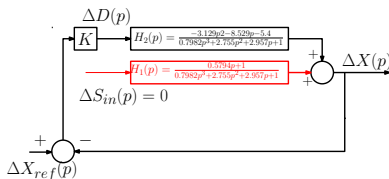
- plusieurs commandes sont possibles :

$$\bullet \begin{cases} \text{si } x(t) < x_{ref}(t) \rightarrow \text{augmenter } S_{in}(t) \\ \text{si } x(t) > x_{ref}(t) \rightarrow \text{diminuer } S_{in}(t) \end{cases} \Rightarrow \begin{cases} S_{in}(t) = S_{in0} + K_1(x_{ref}(t) - x(t)) \\ D(t) = D_0 \end{cases}$$

# 1.4 Intro à la commande sur l'exemple du chemostat

**Objectif :** la concentration en  $x(t)$  doit suivre une référence  $x_{ref}(t)$

- moyen d'action : modifier  $S_{in}(t)$  et / ou  $D(t)$
- évaluation du résultat : comparer  $x_{ref}(t)$  et  $x(t)$
- influence des entrées sur  $x(t)$  :  $H_1(0) = 1$  et  $H_2(0) = -5.4$



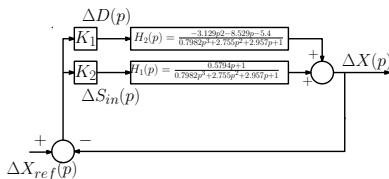
- plusieurs commandes sont possibles :

$$\begin{cases} \text{si } x(t) < x_{ref}(t) \rightarrow \text{augmenter } S_{in}(t) \\ \text{si } x(t) > x_{ref}(t) \rightarrow \text{diminuer } S_{in}(t) \end{cases} \Rightarrow \begin{cases} S_{in}(t) = S_{in0} + K_1(x_{ref}(t) - x(t)) \\ D(t) = D_0 \end{cases}$$
$$\begin{cases} \text{si } x(t) < x_{ref}(t) \rightarrow \text{diminuer } D(t) \\ \text{si } x(t) > x_{ref}(t) \rightarrow \text{augmenter } D(t) \end{cases} \Rightarrow \begin{cases} D(t) = D_0 + K_2(x_{ref}(t) - x(t)) \\ S_{in}(t) = S_{in0} \end{cases}$$

# 1.4 Intro à la commande sur l'exemple du chemostat

**Objectif :** la concentration en  $x(t)$  doit suivre une référence  $x_{ref}(t)$

- moyen d'action : modifier  $S_{in}(t)$  et / ou  $D(t)$
- évaluation du résultat : comparer  $x_{ref}(t)$  et  $x(t)$
- influence des entrées sur  $x(t)$  :  $H_1(0) = 1$  et  $H_2(0) = -5.4$



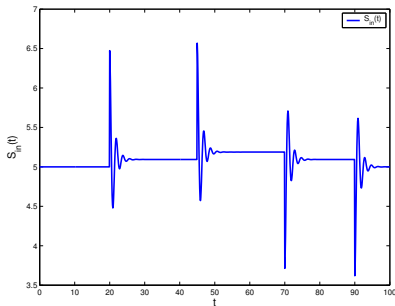
• plusieurs commandes sont possibles :

- $\begin{cases} \text{si } x(t) < x_{ref}(t) \rightarrow \text{augmenter } S_{in}(t) \\ \text{si } x(t) > x_{ref}(t) \rightarrow \text{diminuer } S_{in}(t) \end{cases} \Rightarrow \begin{cases} S_{in}(t) = S_{in0} + K_1(x_{ref}(t) - x(t)) \\ D(t) = D_0 \end{cases}$
- $\begin{cases} \text{si } x(t) < x_{ref}(t) \rightarrow \text{diminuer } D(t) \\ \text{si } x(t) > x_{ref}(t) \rightarrow \text{augmenter } D(t) \end{cases} \Rightarrow \begin{cases} D(t) = D_0 + K_2(x_{ref}(t) - x(t)) \\ S_{in}(t) = S_{in0} \end{cases}$
- on agit sur les deux à la fois

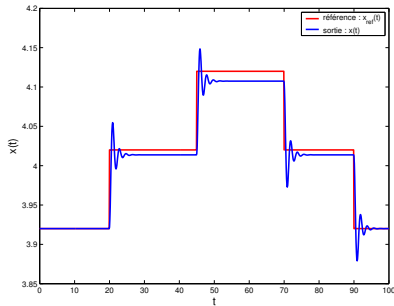
# 1.4 Intro à la commande sur l'exemple du chemostat

Commande de  $x(t)$  à partir de  $S_{in}(t)$  en maintenant  $D(t)$  constant :

$$S_{in}(t) = 15(x_{ref}(t) - x(t)) \quad \text{et} \quad D(t) = 1$$



entrée  $S_{in}(t)$



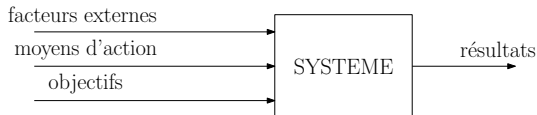
référence  $x_{ref}(t)$  et sortie  $x(t)$

- + la sortie  $x(t)$  suit rapidement  $x_{ref}(t)$
- erreur en régime permanent entre  $x(t)$  et  $x_{ref}(t)$
- la sortie  $x(t)$  présente de fortes oscillations

## 2.1 Introduction : pourquoi la BF ?

### Pour automatiser un procédé il faut :

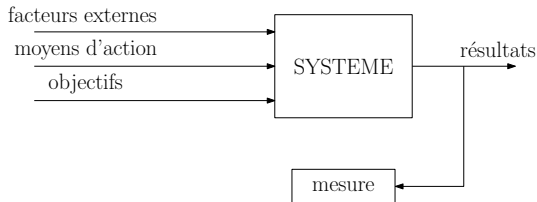
- identifier les moyens d'action de l'opérateur
- identifier les facteurs externes
- définir les objectifs à atteindre



## 2.1 Introduction : pourquoi la BF ?

### Pour automatiser un procédé il faut :

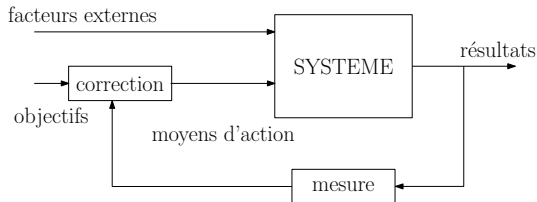
- identifier les moyens d'action de l'opérateur
- identifier les facteurs externes
- définir les objectifs à atteindre
- mesurer les résultats obtenus



## 2.1 Introduction : pourquoi la BF ?

### Pour automatiser un procédé il faut :

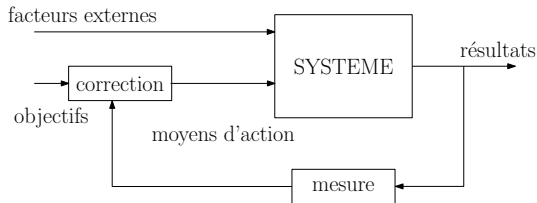
- identifier les moyens d'action de l'opérateur
- identifier les facteurs externes
- définir les objectifs à atteindre
- mesurer les résultats obtenus
- comparer résultats et objectifs
- adapter son action aux objectifs



## 2.1 Introduction : pourquoi la BF ?

### Pour automatiser un procédé il faut :

- identifier les moyens d'action de l'opérateur
- identifier les facteurs externes
- définir les objectifs à atteindre
- mesurer les résultats obtenus
- comparer résultats et objectifs
- adapter son action aux objectifs

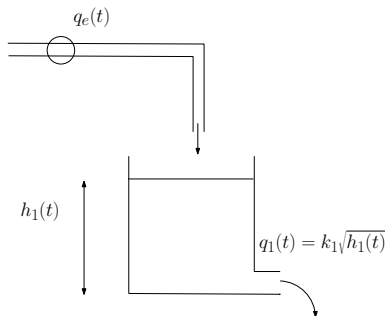


L'automatisation reproduit le comportement humain normal :

observation → réflexion → action

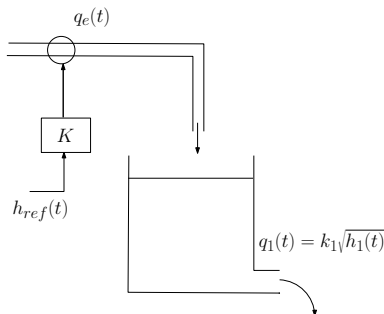
## 2.2 Exemple de régulation

- On veut réguler la hauteur d'un réservoir en contrôlant le débit d'entrée :
  - action : débit  $q_e(t)$
  - objectif : hauteur voulue  $h_{ref}(t)$
  - mesure : hauteur  $h_1(t)$



## 2.2 Exemple de régulation

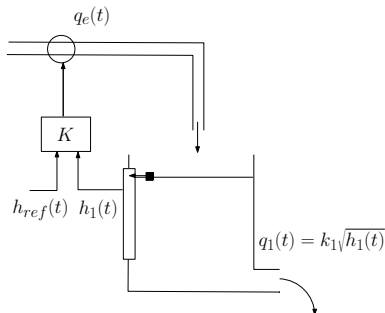
- On veut réguler la hauteur d'un réservoir en contrôlant le débit d'entrée :
  - action : débit  $q_e(t)$
  - objectif : hauteur voulue  $h_{ref}(t)$
  - mesure : hauteur  $h_1(t)$



- **Boucle ouverte** : on peut commander directement :
  - $q_e(t) = Kh_{ref}(t)$

## 2.2 Exemple de régulation

- On veut réguler la hauteur d'un réservoir en contrôlant le débit d'entrée :
  - action : débit  $q_e(t)$
  - objectif : hauteur voulue  $h_{ref}(t)$
  - mesure : hauteur  $h_1(t)$



- **Boucle ouverte** : on peut commander directement :
  - $q_e(t) = Kh_{ref}(t)$
- **Boucle fermée** : ou adapter la commande à la mesure:
  - $\begin{cases} \text{si } h_1(t) > h_{ref}(t) \rightarrow \text{diminuer } q_e(t) \\ \text{si } h_1(t) < h_{ref}(t) \rightarrow \text{augmenter } q_e(t) \end{cases} \Rightarrow q_e(t) = K(h_{ref}(t) - h_1(t))$

## 2.2 Exemple de régulation, en boucle fermée

- Le système en boucle fermée est décrit par :

$$\dot{h}_1(t) = \frac{q_e(t)}{S} - \frac{k_1}{S} \sqrt{h_1(t)}$$

$$q_e(t) = K(h_{ref}(t) - h_1(t))$$

## 2.2 Exemple de régulation, en boucle fermée

- Le système en boucle fermée est décrit par :

$$\dot{h}_1(t) = \frac{q_e(t)}{S} - \frac{k_1}{S} \sqrt{h_1(t)}$$
$$q_e(t) = K(h_{ref}(t) - h_1(t))$$

- On peut linéariser ce système :

$$\Delta H_1(p) = \frac{G_0}{Tp + 1} \Delta H_{ref}(p), \text{ avec } G_0 = \frac{K2\sqrt{h_{10}}/k_1}{1 + K2\sqrt{h_{10}}/k_1} \text{ et } T = \frac{2S\sqrt{h_{10}}/k_1}{1 + 2K2\sqrt{h_{10}}/k_1}$$

## 2.2 Exemple de régulation, en boucle fermée

- Le système en boucle fermée est décrit par :

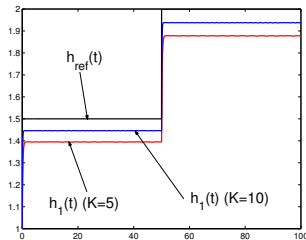
$$\dot{h}_1(t) = \frac{q_e(t)}{S} - \frac{k_1}{S} \sqrt{h_1(t)}$$

$$q_e(t) = K(h_{ref}(t) - h_1(t))$$

- On peut linéariser ce système :

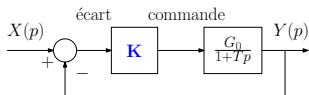
$$\Delta H_1(p) = \frac{G_0}{T_p + 1} \Delta H_{ref}(p), \text{ avec } G_0 = \frac{K2\sqrt{h_{10}}/k_1}{1 + K2\sqrt{h_{10}}/k_1} \text{ et } T = \frac{2S\sqrt{h_{10}}/k_1}{1 + 2K2\sqrt{h_{10}}/k_1}$$

- Influence de  $K$  sur le système : lorsque  $K$  augmente :
  - le gain statique  $G_0$  tend vers 1  
→  $h_1$  suit mieux  $h_{ref}$
  - la constante de temps  $T$  diminue  
→ le suivi est plus rapide



## 2.2 Effet d'un bouclage sur un premier ordre

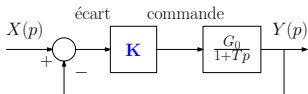
- Le résultat précédent se généralise à tout système du 1<sup>er</sup> ordre, régulé avec un correcteur proportionnel  $K$  :



$$\begin{cases} \text{systeme :} & Y(p) = \frac{G_0}{1+T_p p} U(p) \\ \text{correcteur :} & U(p) = K(X(p) - Y(p)) \end{cases}$$

## 2.2 Effet d'un bouclage sur un premier ordre

- Le résultat précédent se généralise à tout système du 1<sup>er</sup> ordre, régulé avec un correcteur proportionnel  $K$  :



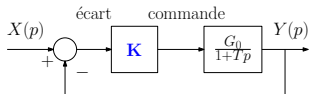
$$\begin{cases} \text{système :} & Y(p) = \frac{G_0}{1+T_p} U(p) \\ \text{correcteur :} & U(p) = K(X(p) - Y(p)) \end{cases}$$

- Le système en BF est un premier ordre :

$$Y(p) = \frac{G_{BF}}{1 + T_{BF}p} X(p) \quad \text{avec} \quad \begin{cases} G_{BF} = \frac{KG_0}{1+KG_0} \xrightarrow{K \gg 1} 1 \\ T_{BF} = \frac{T}{1+KG_0} \xrightarrow{K \gg 1} 0 \end{cases}$$

## 2.2 Effet d'un bouclage sur un premier ordre

- Le résultat précédent se généralise à tout système du 1<sup>er</sup> ordre, régulé avec un correcteur proportionnel  $K$  :



$$\begin{cases} \text{systeme :} & Y(p) = \frac{G_0}{1+T_p} U(p) \\ \text{correcteur :} & U(p) = K(X(p) - Y(p)) \end{cases}$$

- Le système en BF est un premier ordre :

$$Y(p) = \frac{G_{BF}}{1 + T_{BF} p} X(p) \quad \text{avec} \quad \begin{cases} G_{BF} = \frac{KG_0}{1+KG_0} \xrightarrow{K \gg 1} 1 \\ T_{BF} = \frac{T}{1+KG_0} \xrightarrow{K \gg 1} 0 \end{cases}$$

- Pour  $K$  grand :
  - + suivi unitaire de  $x(t)$  par  $y(t)$
  - + suivi rapide de  $x(t)$  par  $y(t)$
  - commande grande : coûteuse, bruit amplifié

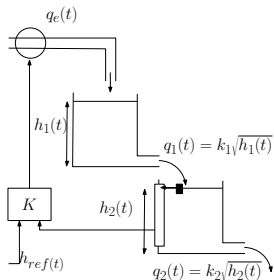
## 2.2 Exemple de régulation (compliquons un peu)

- On veut réguler  $h_2(t)$  la hauteur du **deuxième** réservoir par  $q_e(t)$  le débit d'entrée :

$$\dot{h}_1(t) = \frac{q_e(t)}{S_1} - \frac{k_1}{S_1} \sqrt{h_1(t)}$$

$$\dot{h}_2(t) = \frac{k_1}{S_2} \sqrt{h_1(t)} - \frac{k_2}{S_2} \sqrt{h_2(t)}$$

$$q_e(t) = K(h_{ref}(t) - h_2(t))$$



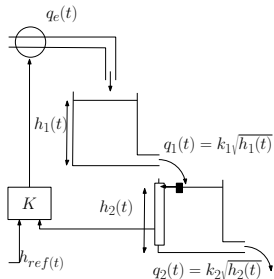
## 2.2 Exemple de régulation (compliquons un peu)

- On veut réguler  $h_2(t)$  la hauteur du **deuxième** réservoir par  $q_e(t)$  le débit d'entrée :

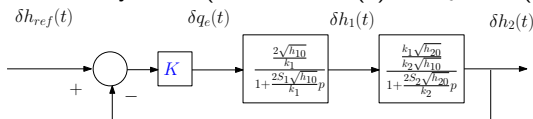
$$\dot{h}_1(t) = \frac{q_e(t)}{S_1} - \frac{k_1}{S_1} \sqrt{h_1(t)}$$

$$\dot{h}_2(t) = \frac{k_1}{S_2} \sqrt{h_1(t)} - \frac{k_2}{S_2} \sqrt{h_2(t)}$$

$$q_e(t) = K(h_{ref}(t) - h_2(t))$$



- On peut linéariser ce système (autour de  $h_1(t) \approx h_{10}$  et  $h_2(t) \approx h_{20}$ )



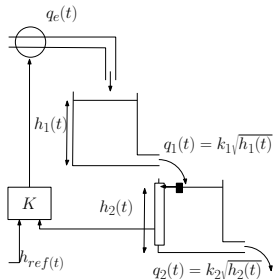
## 2.2 Exemple de régulation (compliquons un peu)

- On veut réguler  $h_2(t)$  la hauteur du **deuxième** réservoir par  $q_e(t)$  le débit d'entrée :

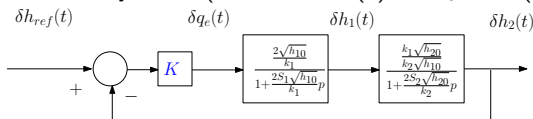
$$\dot{h}_1(t) = \frac{q_e(t)}{S_1} - \frac{k_1}{S_1} \sqrt{h_1(t)}$$

$$\dot{h}_2(t) = \frac{k_1}{S_2} \sqrt{h_1(t)} - \frac{k_2}{S_2} \sqrt{h_2(t)}$$

$$q_e(t) = K(h_{ref}(t) - h_2(t))$$



- On peut linéariser ce système (autour de  $h_1(t) \approx h_{10}$  et  $h_2(t) \approx h_{20}$ )

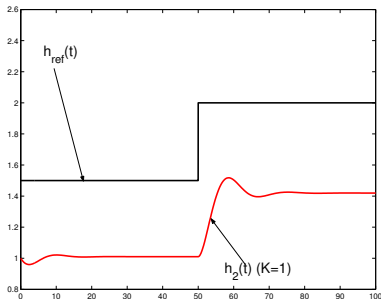


- Le gain statique en boucle fermée est donné par :

$$G_{BF} = \frac{2K\sqrt{h_{20}}}{k_2 + 2K\sqrt{h_{20}}} \xrightarrow{K \gg 1} 1$$

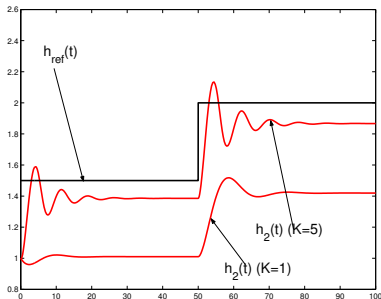
## 2.2 Exemple de régulation (compliquons un peu)

- conditions initiales :  
 $h_{ref}(0) = 1.5$  et  $h_2(0) = 1$
- variation de  $h_{ref}$  de  $+0.5$  en  $t = 50$
- Pour  $K = 1$ 
  - oscillations faibles et lentes
  - peu de dépassement de  $h_2(\infty)$
  - suivi médiocre



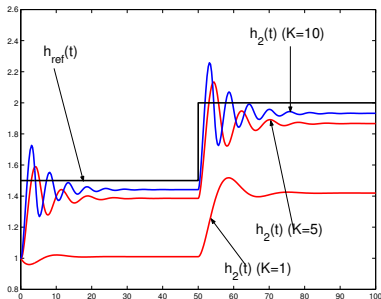
## 2.2 Exemple de régulation (compliquons un peu)

- conditions initiales :  
 $h_{ref}(0) = 1.5$  et  $h_2(0) = 1$
- variation de  $h_{ref}$  de  $+0.5$  en  $t = 50$
- Pour  $K = 5$ 
  - oscillations faibles et lentes
  - dépassement de  $h_2(\infty)$  important
  - suivi moyen



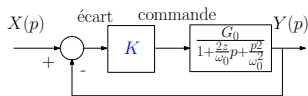
## 2.2 Exemple de régulation (compliquons un peu)

- conditions initiales :  
 $h_{ref}(0) = 1.5$  et  $h_2(0) = 1$
- variation de  $h_{ref}$  de  $+0.5$  en  $t = 50$
- Pour  $K = 10$ 
  - oscillations fortes et rapides
  - dépassement de  $h_2(\infty)$  très (trop) important
  - suivi correct



## 2.2 Effet d'un bouclage sur un second ordre

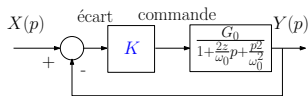
- Le résultat précédent se généralise à tout système du 2<sup>ème</sup> ordre, régulé avec un correcteur proportionnel  $K$  :



$$\begin{cases} \text{système :} & Y(p) = \frac{G_0}{1 + \frac{2z}{\omega_0}p + \frac{p^2}{\omega_0^2}} U(p) \\ \text{correcteur :} & U(p) = K(X(p) - Y(p)) \end{cases}$$

## 2.2 Effet d'un bouclage sur un second ordre

- Le résultat précédent se généralise à tout système du 2<sup>ème</sup> ordre, réglé avec un correcteur proportionnel  $K$  :



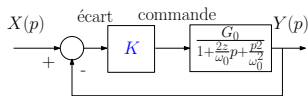
$$\begin{cases} \text{système :} & Y(p) = \frac{G_0}{1 + \frac{2z}{\omega_0}p + \frac{p^2}{\omega_0^2}} U(p) \\ \text{correcteur :} & U(p) = K(X(p) - Y(p)) \end{cases}$$

- Le système en BF est un second ordre :

$$Y(p) = \frac{G_{BF}}{1 + \frac{2z_{BF}}{\omega_{BF}}p + \frac{p^2}{\omega_{BF}^2}} X(p) \quad \text{avec} \quad \begin{cases} G_{BF} = \frac{KG_0}{1+KG_0} & \xrightarrow{K \gg 1} 1 \\ \omega_{BF} = \omega_0 \sqrt{1+KG_0} & \xrightarrow{K \gg 1} \gg 1 \\ z_{BF} = \frac{z}{\sqrt{1+KG_0}} & \xrightarrow{K \gg 1} 0 \end{cases}$$

## 2.2 Effet d'un bouclage sur un second ordre

- Le résultat précédent se généralise à tout système du 2<sup>ème</sup> ordre, réglé avec un correcteur proportionnel  $K$  :



$$\begin{cases} \text{système :} & Y(p) = \frac{G_0}{1 + \frac{2z}{\omega_0}p + \frac{p^2}{\omega_0^2}} U(p) \\ \text{correcteur :} & U(p) = K(X(p) - Y(p)) \end{cases}$$

- Le système en BF est un second ordre :

$$Y(p) = \frac{G_{BF}}{1 + \frac{2z_{BF}}{\omega_{BF}}p + \frac{p^2}{\omega_{BF}^2}} X(p) \quad \text{avec} \quad \begin{cases} G_{BF} = \frac{KG_0}{1+KG_0} & \xrightarrow{K \gg 1} 1 \\ \omega_{BF} = \omega_0 \sqrt{1 + KG_0} & \xrightarrow{K \gg 1} \gg 1 \\ z_{BF} = \frac{z}{\sqrt{1+KG_0}} & \xrightarrow{K \gg 1} 0 \end{cases}$$

- Pour  $K$  grand :

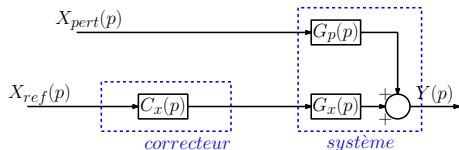
- + suivi unitaire de  $x(t)$  par  $y(t)$
- + suivi rapide de  $x(t)$  par  $y(t)$
- risque d'oscillations rapides ( $\omega_{BF}$  grand) et importantes ( $z_{BF}$  petit)
- commande grande : coûteuse, bruit amplifié

## 2.3 Structures de commande en boucle ouverte

**Objectif :** suivre la référence  $x_{ref}$  malgré la perturbation  $x_{pert}$

- Si aucune mesure n'est disponible  
→ boucle ouverte :

$$C_x \approx G_x^{-1}$$

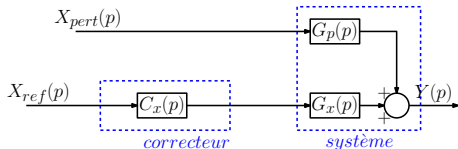


## 2.3 Structures de commande en boucle ouverte

**Objectif :** suivre la référence  $x_{ref}$  malgré la perturbation  $x_{pert}$

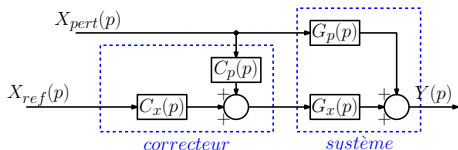
- Si aucune mesure n'est disponible  
→ boucle ouverte :

$$C_x \approx G_x^{-1}$$



- Si la perturbation est mesurable  
→ BO avec anticipation :

$$C_x \approx G_x^{-1} \text{ et } C_p \approx -G_p G_x^{-1}$$

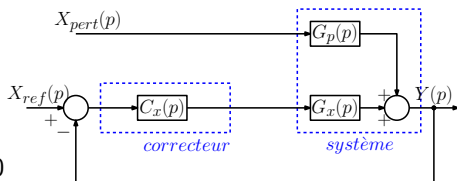


## 2.3 Structures de commande en boucle fermée

**Objectif :** suivre la référence  $x_{ref}$  malgré la perturbation  $x_{pert}$

- Si la sortie est mesurable  
→ boucle fermée :

$$\frac{C_x G_x}{1 + C_x G_x} \approx 1 \text{ et } \frac{G_p}{1 + C_x G_x} \approx 0$$

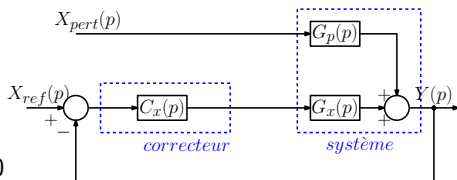


## 2.3 Structures de commande en boucle fermée

**Objectif :** suivre la référence  $x_{ref}$  malgré la perturbation  $x_{pert}$

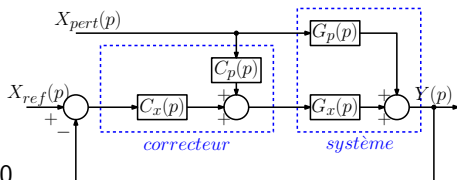
- Si la sortie est mesurable  
→ boucle fermée :

$$\frac{C_x G_x}{1 + C_x G_x} \approx 1 \text{ et } \frac{G_p}{1 + C_x G_x} \approx 0$$

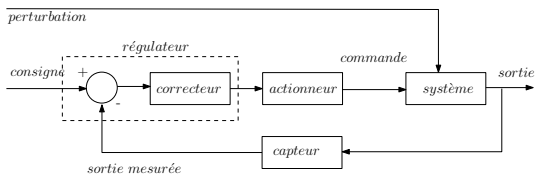


- Si sortie et perturbation sont mesurables  
→ BF avec anticipation :

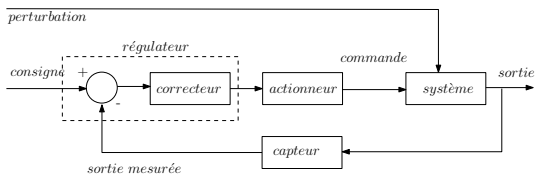
$$\frac{C_x G_x}{1 + C_x G_x} \approx 1 \text{ et } \frac{G_p + G_x C_p}{1 + C_x G_x} \approx 0$$



## 2.3 Schéma standard de régulation



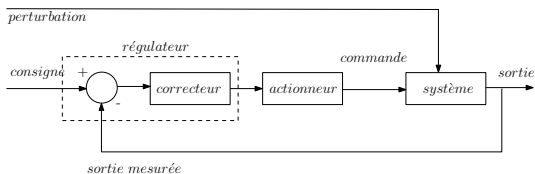
## 2.3 Schéma standard de régulation



### ● Objectifs :

- suivi de consigne par la sortie
- limiter l'influence des perturbations
- être robuste à des erreurs de modélisation

## 2.3 Schéma standard de régulation



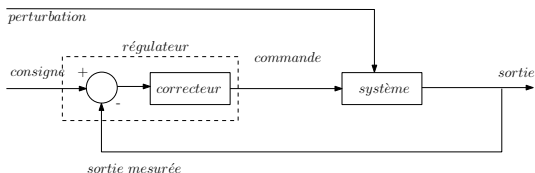
### ● Objectifs :

- suivi de consigne par la sortie
- limiter l'influence des perturbations
- être robuste à des erreurs de modélisation

### ● Hypothèses :

- capteur rapide (/ au système) → dynamique négligée (ou intégrée)

## 2.3 Schéma standard de régulation



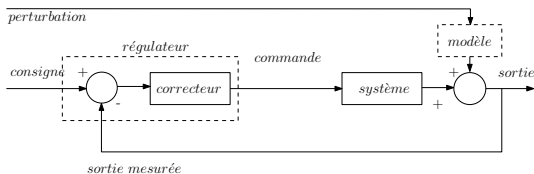
### ● Objectifs :

- suivi de consigne par la sortie
- limiter l'influence des perturbations
- être robuste à des erreurs de modélisation

### ● Hypothèses :

- capteur rapide (/ au système) → dynamique négligée (ou intégrée)
- actionneur rapide (/ au système) → dynamique négligée (ou intégrée)

## 2.3 Schéma standard de régulation



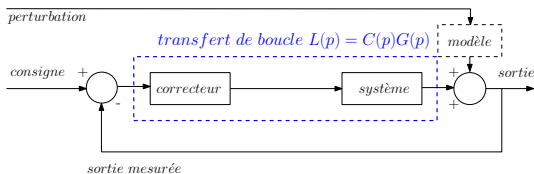
### ● Objectifs :

- suivi de consigne par la sortie
- limiter l'influence des perturbations
- être robuste à des erreurs de modélisation

### ● Hypothèses :

- capteur rapide (/ au système) → dynamique négligée (ou intégrée)
- actionneur rapide (/ au système) → dynamique négligée (ou intégrée)
- perturbations en sortie (entrée oubliée), parfois modélisées

## 2.3 Schéma standard de régulation



### ● Objectifs :

- suivi de consigne par la sortie
- limiter l'influence des perturbations
- être robuste à des erreurs de modélisation

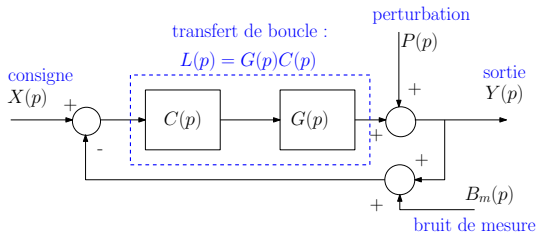
### ● Hypothèses :

- capteur rapide (/ au système) → dynamique négligée (ou intégrée)
- actionneur rapide (/ au système) → dynamique négligée (ou intégrée)
- perturbations en sortie (entrée oubliée), parfois modélisées

- La synthèse du correcteur se fait à partir du **transfert de boucle** :

$$L(p) = C(p)G(p)$$

# 3.1 Performances et robustesse en BF



- La réponse en boucle fermée est :

$$Y(p) = \underbrace{\frac{L(p)}{1 + L(p)}}_{=H_{BF}, \text{ suivi de } X} X(p) + \underbrace{\frac{1}{1 + L(p)}}_{\text{sensibilité à } P} P(p) - \underbrace{\frac{L(p)}{1 + L(p)}}_{\text{sensibilité à } B_m} B_m(p)$$

- Connaissant  $L(p) = G(p)C(p)$ , peut-on savoir si le système en BF...
  - est stable ?
  - suit précisément  $X(p)$  ?
  - reste stable si le gain statique de  $G(p)$  varie ?
  - reste stable si la phase de  $G(p)$  varie ?
  - atténue les perturbations  $P(p)$  et les bruits de mesures  $B_m(p)$  ?

## 3.2 Stabilité d'un système

### Définition.

Un système est **stable**

- ⇔ sa réponse impulsionnelle tend vers 0, quand  $t \rightarrow \infty$
- ⇔ une entrée bornée provoque une sortie bornée
- ⇔ les pôles de la fonction de transfert sont tous à **partie réelle strictement négative**

- Tester la stabilité sans calculer les pôles en BF ?  
→ critère de Routh
- Il existe d'autres critères pour tester la stabilité en **BF** en connaissant la **BO**... (critères de Nyquist, critère du revers, etc.)
- Exemple :

$$G(p) = \frac{p+1}{(p-1)(p+2)} \Rightarrow y(t) = a_1 e^{-2t} + \underbrace{a_2 e^t}_{\text{instable!}} + \dots$$

## 3.2 Étude de la stabilité par le critère de Routh

$$G(p) = \frac{b_m p^m + \dots + b_1 p + b_0}{a_n p^n + a_{n-1} p^{n-1} + \dots + a_1 p + a_0}$$

- Copier les coefficients du **dénominateur** dans deux lignes d'un tableau

	$C_1$		$C_j$		$C_{j+1}$	
$L_1$	$a_n$	$a_{n-2}$		$\dots$	$a_0$	
$L_2$	$a_{n-1}$	$a_{n-3}$		$\dots$	$0$	

## 3.2 Étude de la stabilité par le critère de Routh

$$G(p) = \frac{b_m p^m + \dots + b_1 p + b_0}{a_n p^n + a_{n-1} p^{n-1} + \dots + a_1 p + a_0}$$

- Copier les coefficients du **dénominateur** dans deux lignes d'un tableau
- Puis compléter selon la règle :  $a_{i,j} = \frac{a_{i-1,1} a_{i-2,j+1} - a_{i-1,j+1} a_{i-2,1}}{a_{i-1,1}}$

	$C_1$		$C_j$		$C_{j+1}$	
$L_1$	$a_n$	$a_{n-2}$		$\dots$	$a_0$	
$L_2$	$a_{n-1}$	$a_{n-3}$		$\dots$	0	
	$\vdots$	$\vdots$		$\ddots$	$\vdots$	
$L_{i-2}$	$a_{i-2,1}$			$a_{i-2,j+1}$		
$L_{i-1}$	$a_{i-1,1}$			$a_{i-1,j+1}$		
$L_i$			$a_{i,j}$			
$L_{n+1}$	$a_{n+1,1}$	0	$\dots$	$\dots$	0	

## 3.2 Étude de la stabilité par le critère de Routh

$$G(p) = \frac{b_m p^m + \dots + b_1 p + b_0}{a_n p^n + a_{n-1} p^{n-1} + \dots + a_1 p + a_0}$$

- Copier les coefficients du **dénominateur** dans deux lignes d'un tableau
- Puis compléter selon la règle :  $a_{i,j} = \frac{a_{i-1,1} a_{i-2,j+1} - a_{i-1,j+1} a_{i-2,1}}{a_{i-1,1}}$
- $G(p)$  **stable**  $\Leftrightarrow$  **les termes de la 1<sup>ère</sup> colonne sont de même signe.**

	$C_1$	$C_j$	$C_{j+1}$	
$L_1$	$a_n$	$a_{n-2}$	$\dots$	$a_0$
$L_2$	$a_{n-1}$	$a_{n-3}$	$\dots$	0
	$\vdots$	$\vdots$	$\ddots$	$\vdots$
$L_{i-2}$	$a_{i-2,1}$		$a_{i-2,j+1}$	
$L_{i-1}$	$a_{i-1,1}$		$a_{i-1,j+1}$	
$L_i$		$a_{i,j}$		
$L_{n+1}$	$a_{n+1,1}$	0	$\dots$	0

## 3.2 Étude de la stabilité par le critère de Routh

$$G(p) = \frac{b_m p^m + \dots + b_1 p + b_0}{a_n p^n + a_{n-1} p^{n-1} + \dots + a_1 p + a_0}$$

- Copier les coefficients du **dénominateur** dans deux lignes d'un tableau
- Puis compléter selon la règle :  $a_{i,j} = \frac{a_{i-1,1} a_{i-2,j+1} - a_{i-1,j+1} a_{i-2,1}}{a_{i-1,1}}$
- $G(p)$  stable  $\Leftrightarrow$  les termes de la 1<sup>ère</sup> colonne sont de même signe.

	$C_1$		$C_j$		$C_{j+1}$	
$L_1$	$a_n$	$a_{n-2}$		$\dots$		$a_0$
$L_2$	$a_{n-1}$	$a_{n-3}$		$\dots$		0
	$\vdots$	$\vdots$		$\ddots$		$\vdots$
$L_{i-2}$	$a_{i-2,1}$				$a_{i-2,j+1}$	
$L_{i-1}$	$a_{i-1,1}$				$a_{i-1,j+1}$	
$L_i$			$a_{i,j}$			
$L_{n+1}$	$a_{n+1,1}$	0	$\dots$	$\dots$		0

- Exemple.  $G(p) = \frac{p+1}{p^3+2p^2+p-1}$  est-il stable ?
- Exemple. Quel gain choisir pour rendre  $G(p)$  stable en BF ?

### 3.3 Suivi de référence constante : précision statique en BF

- La réponse à  $X(p)$ , l'entrée de référence, est :

$$Y(p) = \frac{L(p)}{1 + L(p)} X(p)$$

- L'erreur de régulation,  $e(t) = x(t) - y(t)$ , est donnée par :

$$E(p) = \frac{1}{1 + L(p)} X(p)$$

### 3.3 Suivi de référence constante : précision statique en BF

- La réponse à  $X(p)$ , l'entrée de référence, est :

$$Y(p) = \frac{L(p)}{1 + L(p)} X(p)$$

- L'erreur de régulation,  $e(t) = x(t) - y(t)$ , est donnée par :

$$E(p) = \frac{1}{1 + L(p)} X(p)$$

- Pour une entrée constante,  $x(t) = x_0$ , l'erreur statique est

$$e_{\infty} = \lim_{t \rightarrow +\infty} e(t) = \lim_{p \rightarrow 0} \frac{1}{1 + L(p)} x_0$$

### 3.3 Suivi de référence constante : précision statique en BF

- La réponse à  $X(p)$ , l'entrée de référence, est :

$$Y(p) = \frac{L(p)}{1 + L(p)} X(p)$$

- L'erreur de régulation,  $e(t) = x(t) - y(t)$ , est donnée par :

$$E(p) = \frac{1}{1 + L(p)} X(p)$$

- Pour une entrée constante,  $x(t) = x_0$ , l'erreur statique est

$$e_\infty = \lim_{t \rightarrow +\infty} e(t) = \lim_{p \rightarrow 0} \frac{1}{1 + L(p)} x_0$$

- **Pour avoir  $e_\infty$  faible, il faut  $|L(p)| \gg 1$  en basses fréquences**
- **Si  $L(p)$  contient un intégrateur  $\Rightarrow e_\infty = 0$**

### 3.3 Suivi de référence variable : précision dynamique en BF

- Pour  $x(t)$  polynomial :  $x(t) = x_0 + x_1 t + \dots + x_n t^n$
- Notons :  $L(p) = \frac{Num(p)}{Den(p)}$
- L'erreur de poursuite est définie par  $e(t) = x(t) - y(t)$ , donc :

$$E(p) = \frac{1}{1 + L(p)} \left( \frac{x_0}{p} + \dots + \frac{\tilde{x}_n}{p^{n+1}} \right)$$
$$e_\infty = \lim_{p \rightarrow 0} p \frac{Den(p)}{Num(p) + Den(p)} \left( \frac{x_0}{p} + \dots + \frac{\tilde{x}_n}{p^{n+1}} \right)$$

### 3.3 Suivi de référence variable : précision dynamique en BF

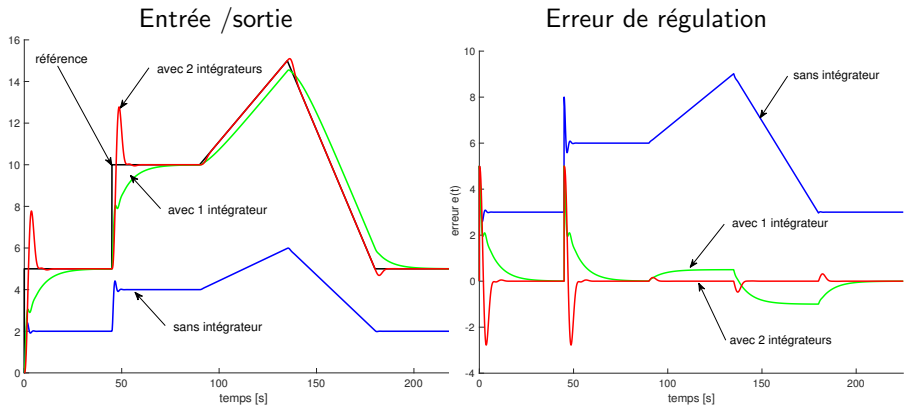
- Pour  $x(t)$  polynomial :  $x(t) = x_0 + x_1 t + \dots + x_n t^n$
- Notons :  $L(p) = \frac{Num(p)}{Den(p)}$
- L'erreur de poursuite est définie par  $e(t) = x(t) - y(t)$ , donc :

$$E(p) = \frac{1}{1 + L(p)} \left( \frac{x_0}{p} + \dots + \frac{\tilde{x}_n}{p^{n+1}} \right)$$
$$e_\infty = \lim_{p \rightarrow 0} p \frac{Den(p)}{Num(p) + Den(p)} \left( \frac{x_0}{p} + \dots + \frac{\tilde{x}_n}{p^{n+1}} \right)$$

- **Quand  $x(t) = x_0 + \dots + x_n t^n$ , il faut au moins  $(n + 1)$  intégrateurs dans  $L(p)$  pour annuler  $e_\infty$**

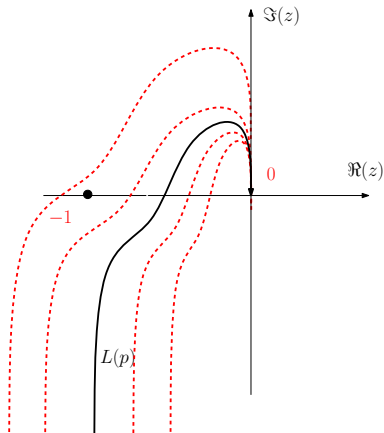
	$x(t) = x_0$	$x(t) = x_0 + x_1 t$	$x(t) = x_0 + x_1 t + x_2 t^2$
$L(p) = \tilde{L}(p)$	$e_\infty = \frac{x_0}{1 + \tilde{L}(0)}$	$e_\infty = \infty$	$e_\infty = \infty$
$L(p) = \frac{1}{p} \tilde{L}(p)$	$e_\infty = 0$	$e_\infty = \frac{x_1}{\tilde{L}(0)}$	$e_\infty = \infty$
$L(p) = \frac{1}{p^2} \tilde{L}(p)$	$e_\infty = 0$	$e_\infty = 0$	$e_\infty = \frac{x_2}{\tilde{L}(0)}$

# 3.3 Suivi de référence variable : précision dynamique en BF



## 3.4 Marges de robustesse en BF

On ne connaît pas **exactement**  $L(p) \Rightarrow L(p) \neq -1$  ne suffit pas  
 $\Rightarrow L(p)$  ne doit pas passer près de  $-1$



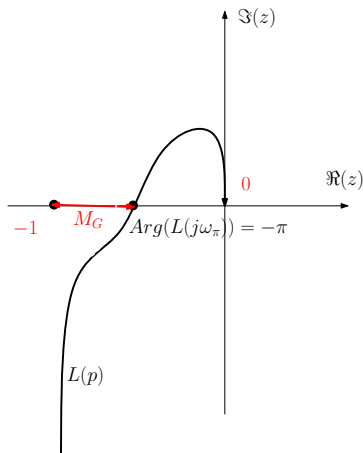
## 3.4 Marges de robustesse en BF

On ne connaît pas **exactement**  $L(p) \Rightarrow L(p) \neq -1$  ne suffit pas  
 $\Rightarrow L(p)$  ne doit pas passer près de  $-1$

- **Marge de gain** : gain max par lequel on peut multiplier  $L(p)$  sans passer par  $-1$

$$M_G = \frac{1}{|L(j\omega_\pi)|}$$

où  $\text{Arg}(L(j\omega_\pi)) = -\pi$



## 3.4 Marges de robustesse en BF

On ne connaît pas **exactement**  $L(p) \Rightarrow L(p) \neq -1$  ne suffit pas  
 $\Rightarrow L(p)$  ne doit pas passer près de  $-1$

- **Marge de gain** : gain max par lequel on peut multiplier  $L(p)$  sans passer par  $-1$

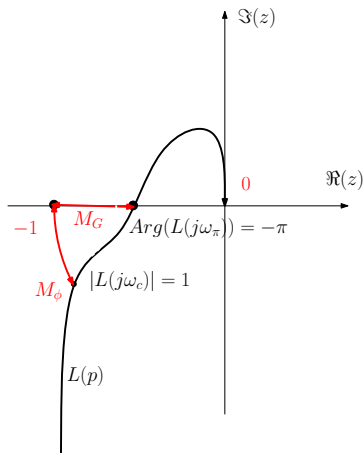
$$M_G = \frac{1}{|L(j\omega_\pi)|}$$

où  $\text{Arg}(L(j\omega_\pi)) = -\pi$

- **Marge de phase** : déphasage max qu'on peut ajouter à  $L(p)$  sans passer par  $-1$

$$M_\phi = \text{Arg}(L(j\omega_c)) + 180$$

où  $|L(j\omega_c)| = 1$



## 3.4 Marges de robustesse en BF

On ne connaît pas **exactement**  $L(p) \Rightarrow L(p) \neq -1$  ne suffit pas  
 $\Rightarrow L(p)$  ne doit pas passer près de  $-1$

- **Marge de gain** : gain max par lequel on peut multiplier  $L(p)$  sans passer par  $-1$

$$M_G = \frac{1}{|L(j\omega_\pi)|}$$

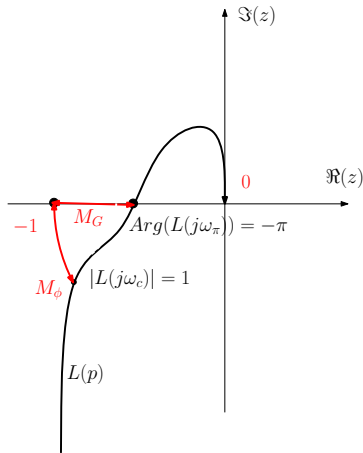
où  $\text{Arg}(L(j\omega_\pi)) = -\pi$

- **Marge de phase** : déphasage max qu'on peut ajouter à  $L(p)$  sans passer par  $-1$

$$M_\phi = \text{Arg}(L(j\omega_c)) + 180$$

où  $|L(j\omega_c)| = 1$

- **stabilité en BF**  $\Leftrightarrow M_\phi > 0$



# 3.4 Marges de robustesse et diagramme de Bode

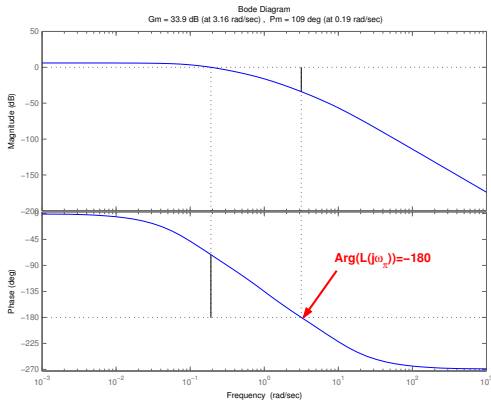
Les marges de robustesse se retrouvent sur le diagramme de Bode de  $L(p)$

- **Marge de gain :**

trouver  $\omega_\pi$  tel que :

$$\text{Arg}(L(j\omega_\pi)) = -\pi$$

$$M_G = \frac{1}{|L(j\omega_\pi)|}$$



# 3.4 Marges de robustesse et diagramme de Bode

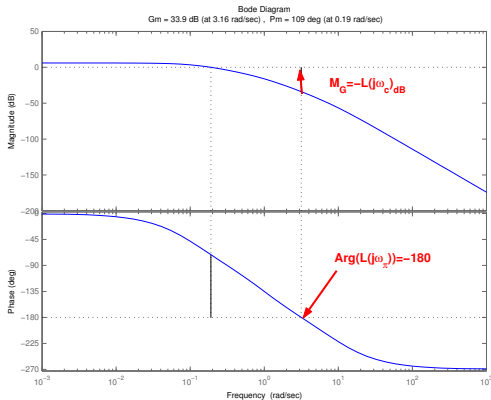
Les marges de robustesse se retrouvent sur le diagramme de Bode de  $L(p)$

- **Marge de gain :**

trouver  $\omega_\pi$  tel que :

$$\text{Arg}(L(j\omega_\pi)) = -\pi$$

$$M_G = \frac{1}{|L(j\omega_\pi)|}$$



# 3.4 Marges de robustesse et diagramme de Bode

Les marges de robustesse se retrouvent sur le diagramme de Bode de  $L(p)$

- **Marge de gain :**

trouver  $\omega_\pi$  tel que :

$$\text{Arg}(L(j\omega_\pi)) = -\pi$$

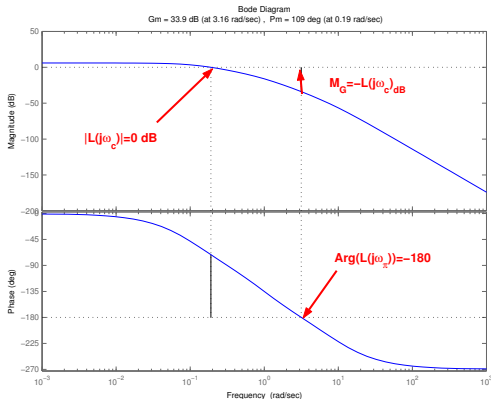
$$M_G = \frac{1}{|L(j\omega_\pi)|}$$

- **Marge de phase :**

trouver  $\omega_c$  tel que :

$$|L(j\omega_c)| = 1$$

$$M_\phi = \text{Arg}(L(j\omega_c)) + 180$$



# 3.4 Marges de robustesse et diagramme de Bode

Les marges de robustesse se retrouvent sur le diagramme de Bode de  $L(p)$

- **Marge de gain :**

trouver  $\omega_\pi$  tel que :

$$\text{Arg}(L(j\omega_\pi)) = -\pi$$

$$M_G = \frac{1}{|L(j\omega_\pi)|}$$

- **Marge de phase :**

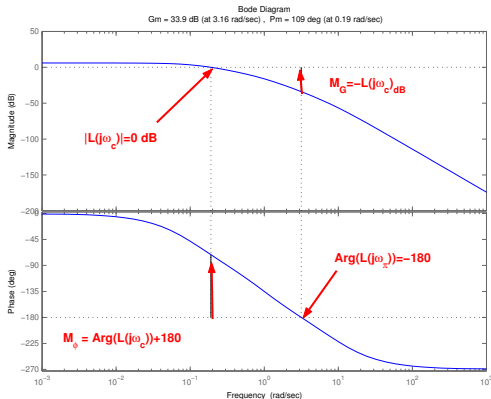
trouver  $\omega_c$  tel que :

$$|L(j\omega_c)| = 1$$

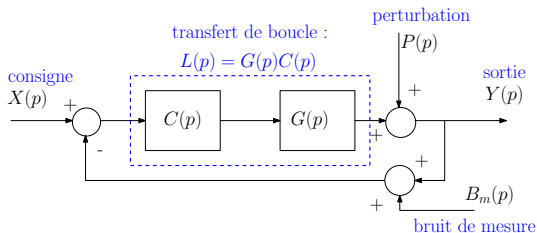
$$M_\phi = \text{Arg}(L(j\omega_c)) + 180$$

- **Valeurs indicatives :**

$M_G \approx 6 \text{ dB}$  et  $M_\phi \approx 45^\circ$   
(commande margin sous Matlab)



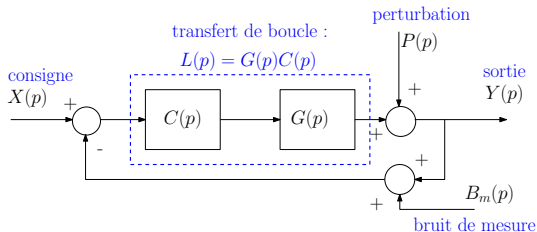
## 3.4 Robustesse aux bruits de mesure et aux perturbations



- La réponse en boucle fermée est :

$$Y(p) = \underbrace{\frac{L(p)}{1 + L(p)}}_{=H_{BF}, \text{ suivi de } X} X(p) + \underbrace{\frac{1}{1 + L(p)}}_{\text{sensibilité à } P} P(p) - \underbrace{\frac{L(p)}{1 + L(p)}}_{\text{sensibilité à } B_m} B_m(p)$$

## 3.4 Robustesse aux bruits de mesure et aux perturbations

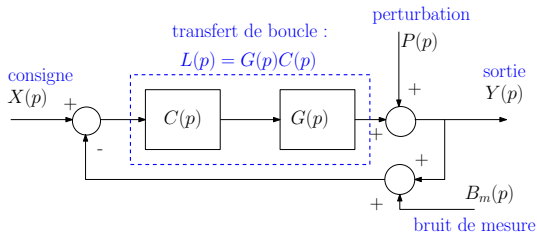


- La réponse en boucle fermée est :

$$Y(p) = \underbrace{\frac{L(p)}{1 + L(p)}}_{=H_{BF}, \text{ suivi de } X} X(p) + \underbrace{\frac{1}{1 + L(p)}}_{\text{sensibilité à } P} P(p) - \underbrace{\frac{L(p)}{1 + L(p)}}_{\text{sensibilité à } B_m} B_m(p)$$

- Pour rejeter des perturbations en **basses fréquences** (lentes)  
→ il faut  $|L(j\omega)| \gg 1$ , quand  $\omega$  petit

## 3.4 Robustesse aux bruits de mesure et aux perturbations



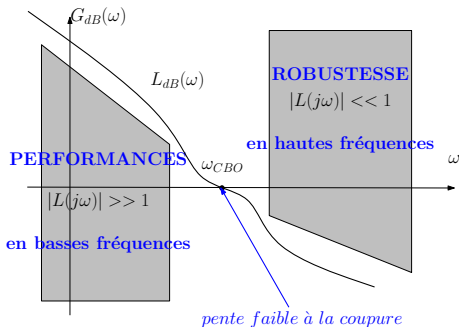
- La réponse en boucle fermée est :

$$Y(p) = \underbrace{\frac{L(p)}{1 + L(p)}}_{=H_{BF}, \text{ suivi de } X} X(p) + \underbrace{\frac{1}{1 + L(p)}}_{\text{sensibilité à } P} P(p) - \underbrace{\frac{L(p)}{1 + L(p)}}_{\text{sensibilité à } B_m} B_m(p)$$

- Pour rejeter des perturbations en **basses fréquences** (lentes)  
→ il faut  $|L(j\omega)| \gg 1$ , quand  $\omega$  petit
- Pour rejeter des bruits en **hautes fréquences**  
→ il faut  $|L(j\omega)| \ll 1$ , quand  $\omega$  grand

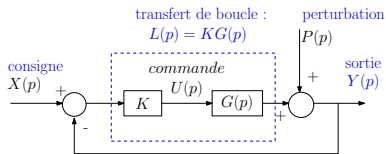
## 4.1 Objectifs de synthèse du correcteur

- On peut résumer les différents objectifs de synthèse d'un correcteur :  
→ trouver  $C(p)$ , tel que  $L(p) = G(p)C(p)$



- gain élevé de  $L(p)$  en basses fréquences  
→ bonne précision statique  
→ bon rejet des perturbations lentes en sortie
- gain faible de  $L(p)$  en hautes fréquences  
→ bon rejet des bruits de mesure  
→ bonnes marges de robustesse

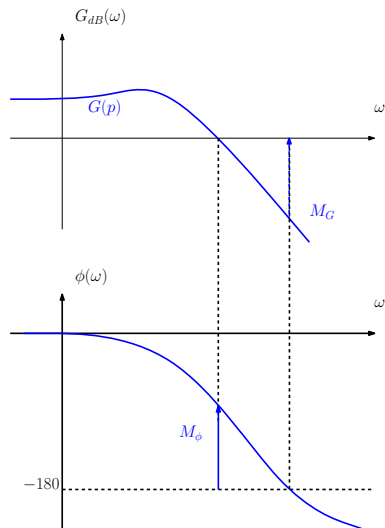
## 4.2 Augmenter le gain : correcteur proportionnel (P)



- Correcteur **P**roportionnel

$$C(p) = K$$
$$u(t) = K(x(t) - y(t))$$

## 4.2 Augmenter le gain : correcteur proportionnel (P)

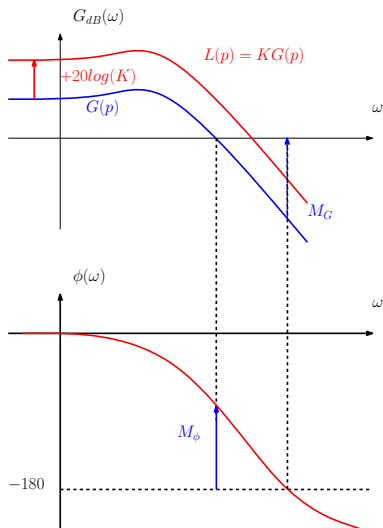


- Correcteur **P**roportionnel

$$C(p) = K$$
$$u(t) = K(x(t) - y(t))$$

- Effets sur le transfert de boucle :

## 4.2 Augmenter le gain : correcteur proportionnel (P)

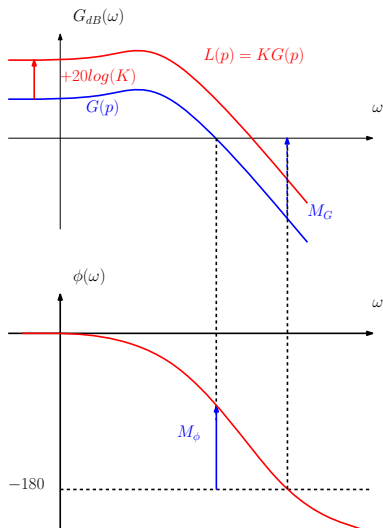


- Correcteur **P**roportionnel

$$C(p) = K$$
$$u(t) = K(x(t) - y(t))$$

- Effets sur le transfert de boucle :
  - gain de  $L(p)$  augmenté de  $20\log(K)$  dB
  - phase de  $L(p)$  inchangée

## 4.2 Augmenter le gain : correcteur proportionnel (P)

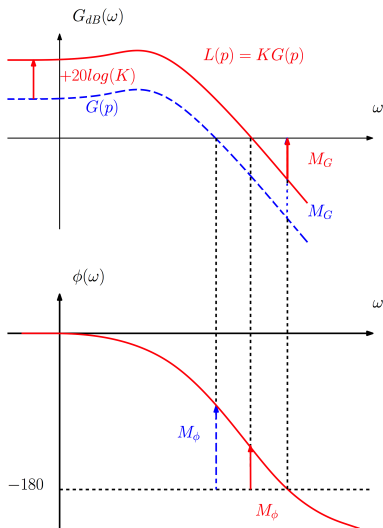


- Correcteur **P**roportionnel

$$C(p) = K$$
$$u(t) = K(x(t) - y(t))$$

- Effets sur le transfert de boucle :
  - gain de  $L(p)$  augmenté de  $20\log(K)$  dB
  - phase de  $L(p)$  inchangée
- Pour  $K \gg 1$ 
  - **précision meilleure**
  - car  $|L(\omega)| \gg 1$  en BF

## 4.2 Augmenter le gain : correcteur proportionnel (P)

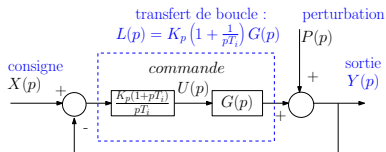


- Correcteur **P**roportionnel

$$C(p) = K$$
$$u(t) = K(x(t) - y(t))$$

- Effets sur le transfert de boucle :
  - gain de  $L(p)$  augmenté de  $20\log(K)$  dB
  - phase de  $L(p)$  inchangée
- Pour  $K \gg 1$ 
  - **précision meilleure**
  - car  $|L(\omega)| \gg 1$  en BF
- Pour  $K \gg 1$ 
  - **robustesse diminuée**
  - car  $M_\phi$  et  $M_G \searrow$

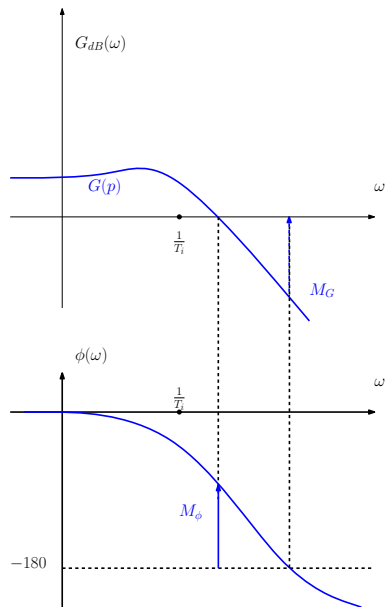
## 4.3 Précision statique parfaite : proportionnel intégral (PI)



$$C(p) = K_p \left(1 + \frac{1}{pT_i}\right)$$
$$u(t) = K_p(x - y) + \frac{K_p}{T_i} \int_0^t (x - y)$$

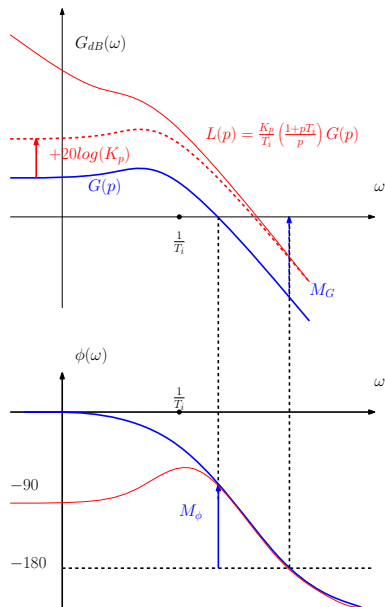
- Correct. Proportionnel-Intégral

## 4.3 Précision statique parfaite : proportionnel intégral (PI)



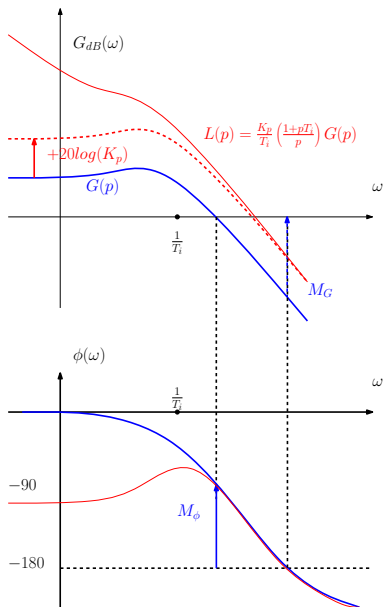
- Correct. Proportionnel-Intégral  
$$C(p) = K_p \left( 1 + \frac{1}{pT_i} \right)$$
$$u(t) = K_p(x - y) + \frac{K_p}{T_i} \int_0^t (x - y)$$
- Effets sur le transfert de boucle :

## 4.3 Précision statique parfaite : proportionnel intégral (PI)



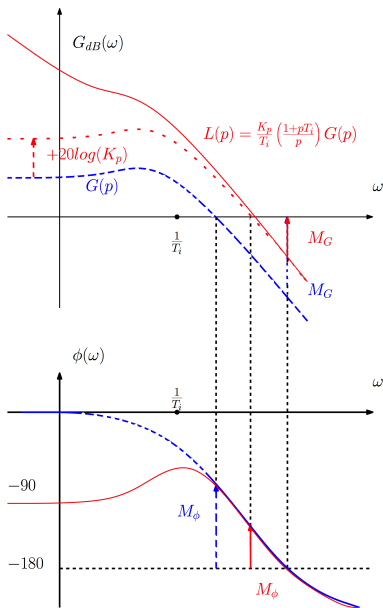
- Correct. Proportionnel-Intégral  
$$C(p) = K_p \left( 1 + \frac{1}{pT_i} \right)$$
$$u(t) = K_p(x - y) + \frac{K_p}{T_i} \int_0^t (x - y)$$
- Effets sur le transfert de boucle :
  - gain de  $L(p)$  translaté vers le haut, surtout en BF
  - phase de  $L(p)$  diminuée de  $90^\circ$  en BF

## 4.3 Précision statique parfaite : proportionnel intégral (PI)



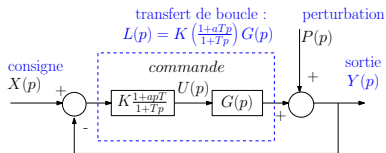
- Correct. **Proportionnel-Intégral**  
 $C(p) = K_p \left( 1 + \frac{1}{pT_i} \right)$   
 $u(t) = K_p(x - y) + \frac{K_p}{T_i} \int_0^t (x - y)$
- Effets sur le transfert de boucle :  
→ **gain de  $L(p)$  translaté** vers le haut, surtout en BF  
→ **phase de  $L(p)$  diminuée de  $90^\circ$**  en BF
- **précision meilleure**  
( $|L(0)| \rightarrow \infty$ )  
rejet de perturbations constantes  
suivi de référence constante

## 4.3 Précision statique parfaite : proportionnel intégral (PI)



- Correct. Proportionnel-Intégral  
 $C(p) = K_p \left( 1 + \frac{1}{pT_i} \right)$   
 $u(t) = K_p(x - y) + \frac{K_p}{T_i} \int_0^t (x - y)$
- Effets sur le transfert de boucle :  
→ gain de  $L(p)$  translaté vers le haut, surtout en BF  
→ phase de  $L(p)$  diminuée de  $90^\circ$  en BF
- **précision meilleure**  
( $|L(0)| \rightarrow \infty$ )  
rejet de perturbations constantes  
suivi de référence constante
- **robustesse éventuellement diminuée**
- réponse parfois lente

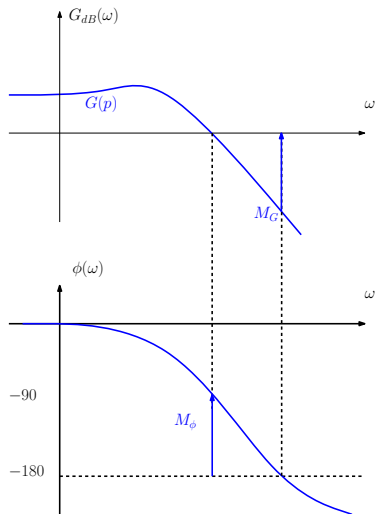
## 4.4 Améliorer la robustesse : avance de phase



- Correcteur à avance de phase

$$C(p) = K \frac{1+aTp}{1+Tp}, \quad a > 1$$

## 4.4 Améliorer la robustesse : avance de phase

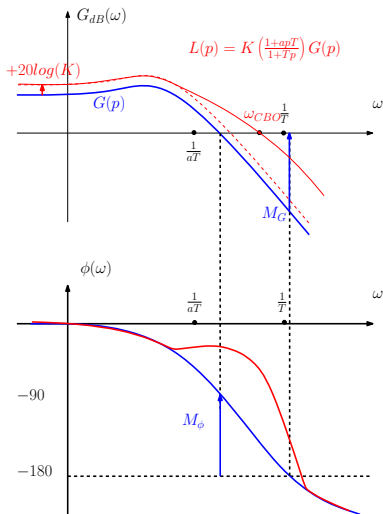


- Correcteur à avance de phase

$$C(p) = K \frac{1+aTp}{1+Tp}, \quad a > 1$$

- Effets sur le transfert de boucle :

## 4.4 Améliorer la robustesse : avance de phase

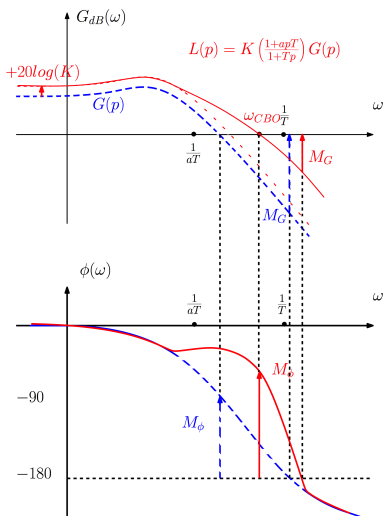


- Correcteur à avance de phase

$$C(p) = K \frac{1+aTp}{1+Tp}, \quad a > 1$$

- Effets sur le transfert de boucle :
  - gain de  $L(p)$  augmenté de  $20\log(K)$  en BF et plus en HF
  - phase de  $L(p)$  augmentée, pour  $1/(aT) < \omega < 1/T$
- Pour  $K \gg 1$ 
  - **précision** car  $|L(0)| \nearrow$
  - **rapidité** car  $\omega_{CBO} \nearrow$

## 4.4 Améliorer la robustesse : avance de phase



- Correcteur à avance de phase

$$C(p) = K \frac{1+aTp}{1+Tp}, \quad a > 1$$

- Effets sur le transfert de boucle :
  - gain de  $L(p)$  augmenté de  $20\log(K)$  en BF et plus en HF
  - phase de  $L(p)$  augmentée, pour  $1/(aT) < \omega < 1/T$
- Pour  $K \gg 1$ 
  - précision car  $|L(0)| \nearrow$
  - rapidité car  $\omega_{CBO} \nearrow$
- robustesse
  - $M_\phi \nearrow$  car phase  $\nearrow$  pour  $\omega \approx \omega_{CBO}$
  - possible détérioration de  $M_G$

## 4.5 Précision statique et rapidité : proportionnel intégral dérivé (PID)

- Pour accélérer le transitoire du **PI** on ajoute un terme **Dérivé** :

$$C(p) = K_p \left( 1 + \frac{1}{pT_i} + pT_d \right)$$

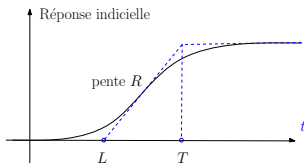
- Le régulateur obtenu cumule les effets d'un PI (en basses fréquences) et d'un avance de phase (en hautes fréquences)

## 4.5 Précision statique et rapidité : proportionnel intégral dérivé (PID)

- Pour accélérer le transitoire du **PI** on ajoute un terme **Dérivé** :

$$C(p) = K_p \left( 1 + \frac{1}{pT_i} + pT_d \right)$$

- Le régulateur obtenu cumule les effets d'un PI (en basses fréquences) et d'un avance de phase (en hautes fréquences)
- La méthode de Ziegler-Nichols permet d'avoir des valeurs des gains à partir de la réponse indicielle de  $G(p)$  (stable)

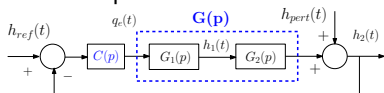


	P	PI	PID
$K_p$	$\frac{1}{LR}$	$\frac{0.9}{LR}$	$\frac{1.2}{LR}$
$T_i$		$3.3L$	$2L$
$T_d$			$0.5L$

- Les valeurs obtenues sont approximatives, il faut ensuite affiner

## 4.6 Exemple de corrections P, PI, PID

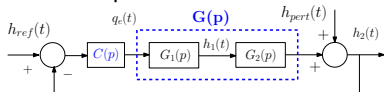
- Reprenons l'exemple des 2 cuves avec une perturbation



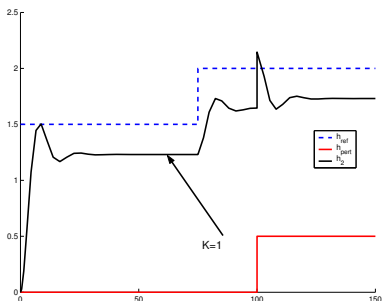
- Suivre  $h_{ref}$  et rejeter  $h_{pert}$ .
- $h_1(0) = h_2(0) = 0$ ,  $h_{ref}(0) = 1.5$

## 4.6 Exemple de corrections P, PI, PID

- Reprenons l'exemple des 2 cuves avec une perturbation

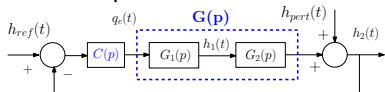


- Suivre  $h_{ref}$  et rejeter  $h_{pert}$ .
- $h_1(0) = h_2(0) = 0$ ,  $h_{ref}(0) = 1.5$
- P** :  $C(p) = 1 \rightarrow$  suivi médiocre

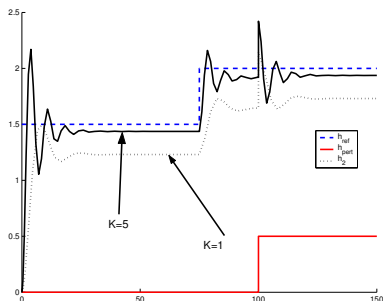


## 4.6 Exemple de corrections P, PI, PID

- Reprenons l'exemple des 2 cuves avec une perturbation

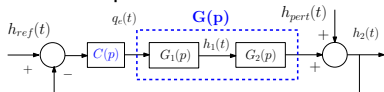


- Suivre  $h_{ref}$  et rejeter  $h_{pert}$ .
- $h_1(0) = h_2(0) = 0$ ,  $h_{ref}(0) = 1.5$
- P** :  $C(p) = 1 \rightarrow$  suivi médiocre

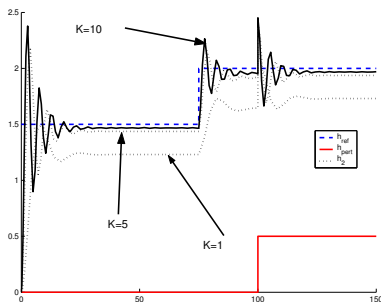


## 4.6 Exemple de corrections P, PI, PID

- Reprenons l'exemple des 2 cuves avec une perturbation

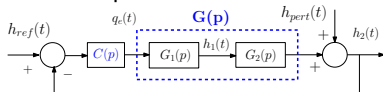


- Suivre  $h_{ref}$  et rejeter  $h_{pert}$ .
- $h_1(0) = h_2(0) = 0$ ,  $h_{ref}(0) = 1.5$
- P** :  $C(p) = 1 \rightarrow$  suivi médiocre
- P** :  $C(p) = 10 \rightarrow$  assez précis

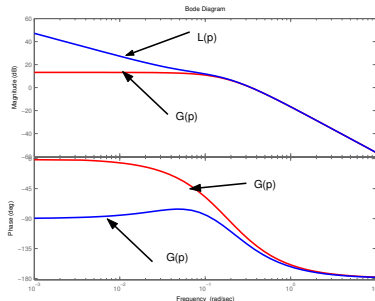


## 4.6 Exemple de corrections P, PI, PID

- Reprenons l'exemple des 2 cuves avec une perturbation

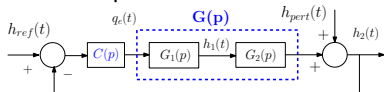


- Suivre  $h_{ref}$  et rejeter  $h_{pert}$ .
- $h_1(0) = h_2(0) = 0$ ,  $h_{ref}(0) = 1.5$
- P** :  $C(p) = 1 \rightarrow$  suivi médiocre
- P** :  $C(p) = 10 \rightarrow$  assez précis
- PI** :  $C(p) = \frac{p+0.05}{p}$   
 $\rightarrow$  suivi et rejet corrects

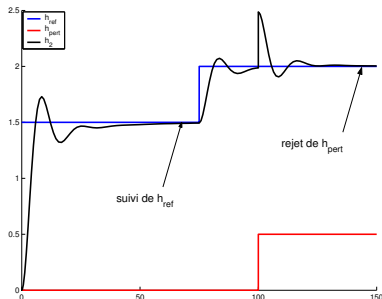


## 4.6 Exemple de corrections P, PI, PID

- Reprenons l'exemple des 2 cuves avec une perturbation

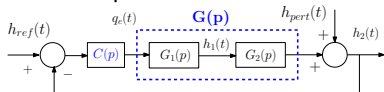


- Suivre  $h_{ref}$  et rejeter  $h_{pert}$ .
- $h_1(0) = h_2(0) = 0$ ,  $h_{ref}(0) = 1.5$
- P** :  $C(p) = 1 \rightarrow$  suivi médiocre
- P** :  $C(p) = 10 \rightarrow$  assez précis
- PI** :  $C(p) = \frac{p+0.05}{p}$   
 $\rightarrow$  suivi et rejet corrects

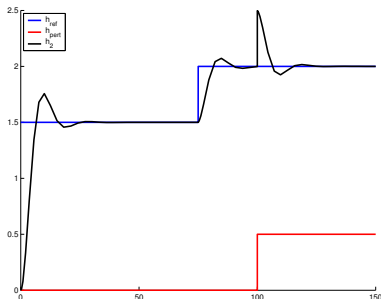


## 4.6 Exemple de corrections P, PI, PID

- Reprenons l'exemple des 2 cuves avec une perturbation



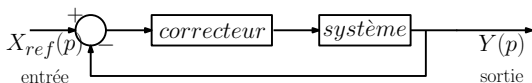
- Suivre  $h_{ref}$  et rejeter  $h_{pert}$ .
- $h_1(0) = h_2(0) = 0$ ,  $h_{ref}(0) = 1.5$
- P** :  $C(p) = 1 \rightarrow$  suivi médiocre
- P** :  $C(p) = 10 \rightarrow$  assez précis
- PI** :  $C(p) = \frac{p+0.05}{p}$   
 $\rightarrow$  suivi et rejet corrects
- PID** :  
 $C(p) = 0.9(1 + \frac{1}{12p} + 0.5p)$   
 $\rightarrow$  transitoire amélioré



## 4.7 Réglage de correcteur par l'approche temporelle

**Objectif :** déterminer les paramètres du correcteur

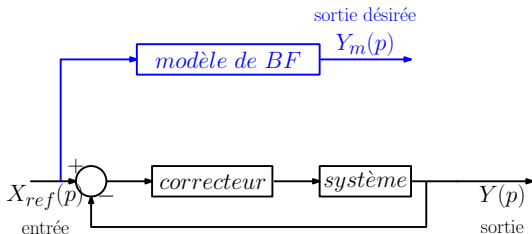
- système et ordre du correcteur sont fixés



## 4.7 Réglage de correcteur par l'approche temporelle

**Objectif :** déterminer les paramètres du correcteur

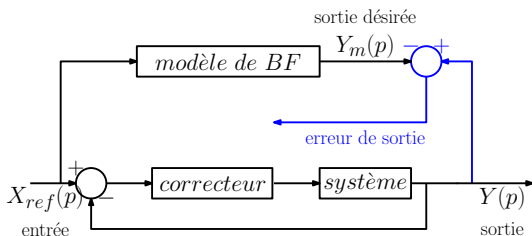
- système et ordre du correcteur sont fixés
- on définit un modèle à suivre par le **système en BF**



## 4.7 Réglage de correcteur par l'approche temporelle

**Objectif :** déterminer les paramètres du correcteur

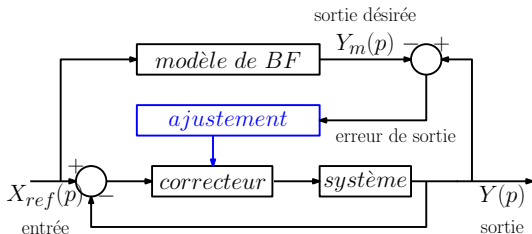
- système et ordre du correcteur sont fixés
- on définit un modèle à suivre par le **système en BF**
- le correcteur doit minimiser l'écart entre  $y(t)$  et  $y_m(t)$



## 4.7 Réglage de correcteur par l'approche temporelle

**Objectif :** déterminer les paramètres du correcteur

- système et ordre du correcteur sont fixés
- on définit un modèle à suivre par le **système en BF**
- le correcteur doit minimiser l'écart entre  $y(t)$  et  $y_m(t)$
- le correcteur est ajusté pour minimiser cet écart



## 4.7 Réglage de correcteur par l'approche temporelle

- Trouver les paramètres du correcteur  $\theta$  qui minimisent l'écart sortie/modèle quantifiée par :

$$\Phi(\theta) = \frac{1}{2} \int_0^{\infty} (y(t, \theta) - y_m(t))^2 dt$$

- Minimisation itérative  $\Phi(\theta)$  par

- gradient :  $\theta_{k+1} = \theta_k - \Delta \left( \frac{d\Phi}{d\theta} \right)_{\theta_k}$
- Newton-Raphson :  $\theta_{k+1} = \theta_k - \left( \frac{d^2\Phi}{d\theta^2} \right)_{\theta_k}^{-1} \left( \frac{d\Phi}{d\theta} \right)_{\theta_k}$

## 4.7 Réglage de correcteur par l'approche temporelle

- Trouver les paramètres du correcteur  $\theta$  qui minimisent l'écart sortie/modèle quantifiée par :

$$\Phi(\theta) = \frac{1}{2} \int_0^{\infty} (y(t, \theta) - y_m(t))^2 dt$$

- Minimisation itérative  $\Phi(\theta)$  par

- gradient :  $\theta_{k+1} = \theta_k - \Delta \left( \frac{d\Phi}{d\theta} \right)_{\theta_k}$
- Newton-Raphson :  $\theta_{k+1} = \theta_k - \left( \frac{d^2\Phi}{d\theta^2} \right)_{\theta_k}^{-1} \left( \frac{d\Phi}{d\theta} \right)_{\theta_k}$

- Pour une valeur donnée de  $\theta_k$  :

- simulation du système en BF  $\rightarrow y(t, \theta_k)$
- simulation des fonctions de sensibilités  $\rightarrow \frac{dy(t, \theta_k)}{d\theta}$
- calcul de  $\left( \frac{d\Phi}{d\theta} \right)_{\theta_k} = \int_0^{\infty} \left( \frac{\partial y(t, \theta_k)}{\partial \theta} \right) (y(t, \theta_k) - y_m(t)) dt$
- calcul de  $\left( \frac{d^2\Phi}{d\theta^2} \right)_{\theta_k} \simeq \int_0^{\infty} \left( \frac{\partial y(t, \theta_k)}{\partial \theta} \right) \left( \frac{\partial y(t, \theta_k)}{\partial \theta} \right)^T dt$
- calcul de la nouvelle valeur de  $\theta_{k+1}$ , tant que  $\left| \frac{d\Phi(\theta_k)}{d\theta} \right| > \varepsilon$

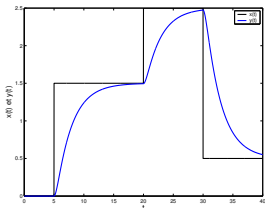
## 4.7 Un exemple de réglage par approche temporelle

- Système à contrôler :

$$G(p) = \frac{1}{1 + 3p + p^2}$$

réponse à  $x(t)$  trop lente

$$T_{2\%} \approx 10 \text{ s}$$



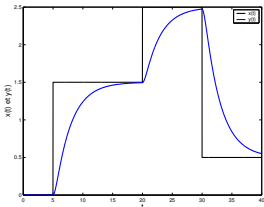
## 4.7 Un exemple de réglage par approche temporelle

- Système à contrôler :

$$G(p) = \frac{1}{1 + 3p + p^2}$$

réponse à  $x(t)$  trop lente

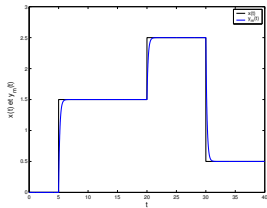
$$T_{2\%} \approx 10 \text{ s}$$



- Modèle à suivre en BF :

$$M(p) = \frac{1}{1 + 0.2p}$$

$$M(0) = 1 \text{ et } T_{2\%} \approx 0.6 \text{ s}$$

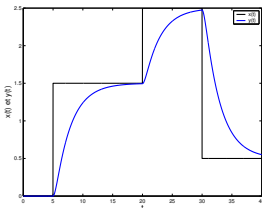


## 4.7 Un exemple de réglage par approche temporelle

- Système à contrôler :

$$G(p) = \frac{1}{1 + 3p + p^2}$$

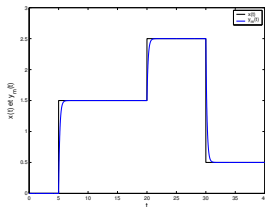
réponse à  $x(t)$  trop lente  
 $T_{2\%} \approx 10$  s



- Modèle à suivre en BF :

$$M(p) = \frac{1}{1 + 0.2p}$$

$M(0) = 1$  et  $T_{2\%} \approx 0.6$  s



- On cherche un correcteur de type PID, à 3 paramètres  $\theta^T = [a \ b \ c]$ :

$$C(p, \theta) = \frac{cp^2 + bp + a}{p}$$

## 4.7 Un exemple de réglage par approche temporelle

- Système en BF :

$$Y(p, \theta) = \frac{cp^2 + bp + a}{p^3 + (3+c)p^2 + (b+1)p + a} X(p)$$

- Équation différentielle en  $x$  et  $y$

$$\ddot{y}(t, \theta) + (3+c)\dot{y}(t, \theta) + (b+1)y(t, \theta) + ay(t, \theta) = c\ddot{x}(t) + b\dot{x}(t) + ax(t)$$

## 4.7 Un exemple de réglage par approche temporelle

- Système en BF :

$$Y(p, \theta) = \frac{cp^2 + bp + a}{p^3 + (3+c)p^2 + (b+1)p + a} X(p)$$

- Équation différentielle en  $x$  et  $y$

$$\ddot{y}(t, \theta) + (3+c)\dot{y}(t, \theta) + (b+1)y(t, \theta) + ay(t, \theta) = c\ddot{x}(t) + b\dot{x}(t) + ax(t)$$

- On définit les sensibilités de la sortie aux paramètres  $a$ ,  $b$  et  $c$  par :

$$\sigma_a(t, \theta) = \frac{\partial y(t, \theta)}{\partial a} \quad \sigma_b(t, \theta) = \frac{\partial y(t, \theta)}{\partial b} \quad \sigma_c(t, \theta) = \frac{\partial y(t, \theta)}{\partial c}$$

## 4.7 Un exemple de réglage par approche temporelle

- Système en BF :

$$Y(p, \theta) = \frac{cp^2 + bp + a}{p^3 + (3+c)p^2 + (b+1)p + a} X(p)$$

- Équation différentielle en  $x$  et  $y$

$$\ddot{y}(t, \theta) + (3+c)\dot{y}(t, \theta) + (b+1)y(t, \theta) + ay(t, \theta) = c\ddot{x}(t) + b\dot{x}(t) + ax(t)$$

- On définit les sensibilités de la sortie aux paramètres  $a$ ,  $b$  et  $c$  par :

$$\sigma_a(t, \theta) = \frac{\partial y(t, \theta)}{\partial a} \quad \sigma_b(t, \theta) = \frac{\partial y(t, \theta)}{\partial b} \quad \sigma_c(t, \theta) = \frac{\partial y(t, \theta)}{\partial c}$$

- On dérive l'équation différentielle en  $x$  et  $y$  par rapport à  $a$ ,  $b$  et  $c$  :

$$\ddot{\sigma}_a(t, \theta) + (3+c)\dot{\sigma}_a(t, \theta) + (b+1)\sigma_a(t, \theta) + a\sigma_a(t, \theta) = x(t) - y(t, \theta)$$

$$\ddot{\sigma}_b(t, \theta) + (3+c)\dot{\sigma}_b(t, \theta) + (b+1)\sigma_b(t, \theta) + a\sigma_b(t, \theta) = \dot{x}(t) - \dot{y}(t, \theta)$$

$$\ddot{\sigma}_c(t, \theta) + (3+c)\dot{\sigma}_c(t, \theta) + (b+1)\sigma_c(t, \theta) + a\sigma_c(t, \theta) = \ddot{x}(t) - \ddot{y}(t, \theta)$$

## 4.7 Un exemple de réglage par approche temporelle

- Système en BF :

$$Y(p, \theta) = \frac{cp^2 + bp + a}{p^3 + (3+c)p^2 + (b+1)p + a} X(p)$$

- Équation différentielle en  $x$  et  $y$

$$\ddot{y}(t, \theta) + (3+c)\dot{y}(t, \theta) + (b+1)y(t, \theta) + ay(t, \theta) = c\ddot{x}(t) + b\dot{x}(t) + ax(t)$$

- On définit les sensibilités de la sortie aux paramètres  $a$ ,  $b$  et  $c$  par :

$$\sigma_a(t, \theta) = \frac{\partial y(t, \theta)}{\partial a} \quad \sigma_b(t, \theta) = \frac{\partial y(t, \theta)}{\partial b} \quad \sigma_c(t, \theta) = \frac{\partial y(t, \theta)}{\partial c}$$

- On dérive l'équation différentielle en  $x$  et  $y$  par rapport à  $a$ ,  $b$  et  $c$  :

$$\mathcal{L}(\sigma_a(t, \theta)) = \Sigma_a(p) = H_a(p)(X(p) - Y(p))$$

$$\mathcal{L}(\sigma_b(t, \theta)) = \Sigma_b(p) = H_b(p)(X(p) - Y(p))$$

$$\mathcal{L}(\sigma_c(t, \theta)) = \Sigma_c(p) = H_c(p)(X(p) - Y(p))$$

- Pour  $x(t)$  et  $y(t, \theta_k)$  connus  $\Rightarrow \sigma_a(t, \theta_k)$ ,  $\sigma_b(t, \theta_k)$  et  $\sigma_c(t, \theta_k)$

## 4.7 Un exemple de réglage par approche temporelle

- Initialisation (Ziegler-Nichols) :  $a_0 = 4.8$ ,  $b_0 = 4.8$  et  $c_0 = 1.2$ ,  $k = 0$
- Simulation du système en BF :

$$Y(p, \theta_k) = \frac{c_k p^2 + b_k p + a_k}{p^3 + (3 + c_k)p^2 + (b_k + 1)p + a_k} X(p)$$

## 4.7 Un exemple de réglage par approche temporelle

- Initialisation (Ziegler-Nichols) :  $a_0 = 4.8$ ,  $b_0 = 4.8$  et  $c_0 = 1.2$ ,  $k = 0$
- Simulation du système en BF :

$$Y(p, \theta_k) = \frac{c_k p^2 + b_k p + a_k}{p^3 + (3 + c_k)p^2 + (b_k + 1)p + a_k} X(p)$$

- Simulation des fonctions de sensibilités :

$$\Sigma_a(p) = \frac{X(p) - Y(p, \theta_k)}{p^3 + (3 + c_k)p^2 + (b_k + 1)p + a_k} \quad \Sigma_b(p) = p \Sigma_a(p) \quad \Sigma_c(p) = p^2 \Sigma_a(p)$$

## 4.7 Un exemple de réglage par approche temporelle

- Initialisation (Ziegler-Nichols) :  $a_0 = 4.8$ ,  $b_0 = 4.8$  et  $c_0 = 1.2$ ,  $k = 0$
- Simulation du système en BF :

$$Y(p, \theta_k) = \frac{c_k p^2 + b_k p + a_k}{p^3 + (3 + c_k)p^2 + (b_k + 1)p + a_k} X(p)$$

- Simulation des fonctions de sensibilités :

$$\Sigma_a(p) = \frac{X(p) - Y(p, \theta_k)}{p^3 + (3 + c_k)p^2 + (b_k + 1)p + a_k} \quad \Sigma_b(p) = p \Sigma_a(p) \quad \Sigma_c(p) = p^2 \Sigma_a(p)$$

- Calculs approchés du gradient et du Hessien (sommes de Riemann) :

$$\frac{\partial \Phi}{\partial \theta} = \int_0^\infty \begin{pmatrix} \sigma_a(t) \\ \sigma_b(t) \\ \sigma_c(t) \end{pmatrix} (y(t) - y_m(t)) dt \quad \frac{\partial^2 \Phi}{\partial \theta^2} \approx \int_0^\infty \begin{pmatrix} \sigma_a(t) \\ \sigma_b(t) \\ \sigma_c(t) \end{pmatrix} \begin{pmatrix} \sigma_a(t) \\ \sigma_b(t) \\ \sigma_c(t) \end{pmatrix}^T dt$$

## 4.7 Un exemple de réglage par approche temporelle

- Initialisation (Ziegler-Nichols) :  $a_0 = 4.8$ ,  $b_0 = 4.8$  et  $c_0 = 1.2$ ,  $k = 0$
- Simulation du système en BF :

$$Y(p, \theta_k) = \frac{c_k p^2 + b_k p + a_k}{p^3 + (3 + c_k)p^2 + (b_k + 1)p + a_k} X(p)$$

- Simulation des fonctions de sensibilités :

$$\Sigma_a(p) = \frac{X(p) - Y(p, \theta_k)}{p^3 + (3 + c_k)p^2 + (b_k + 1)p + a_k} \quad \Sigma_b(p) = p \Sigma_a(p) \quad \Sigma_c(p) = p^2 \Sigma_a(p)$$

- Calculs approchés du gradient et du Hessien (sommes de Riemann) :

$$\frac{\partial \Phi}{\partial \theta} = \int_0^\infty \begin{pmatrix} \sigma_a(t) \\ \sigma_b(t) \\ \sigma_c(t) \end{pmatrix} (y(t) - y_m(t)) dt \quad \frac{\partial^2 \Phi}{\partial \theta^2} \approx \int_0^\infty \begin{pmatrix} \sigma_a(t) \\ \sigma_b(t) \\ \sigma_c(t) \end{pmatrix} \begin{pmatrix} \sigma_a(t) \\ \sigma_b(t) \\ \sigma_c(t) \end{pmatrix}^T dt$$

- Mise à jour des paramètres  $\theta_k = [a_k \ b_k \ c_k]^T$  :

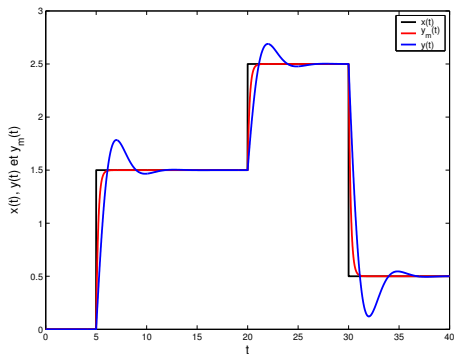
$$\begin{pmatrix} a_{k+1} \\ b_{k+1} \\ c_{k+1} \end{pmatrix} = \begin{pmatrix} a_k \\ b_k \\ c_k \end{pmatrix} - \left( \frac{\partial^2 \Phi}{\partial \theta^2} \right)_{\theta_k}^{-1} \left( \frac{\partial \Phi}{\partial \theta} \right)_{\theta_k}$$

- Itération tant que  $\left| \frac{\partial \Phi}{\partial \theta} \right|_{\theta_k} > \varepsilon$

## 4.7 Un exemple de réglage par approche temporelle

### Résultats du réglage :

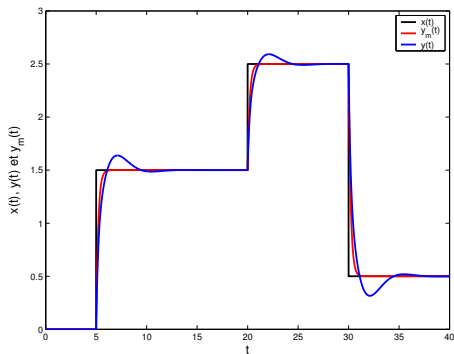
Comparaison entre  $x(t)$ ,  $y(t)$  et  $y_m(t)$  à l'itération 1



## 4.7 Un exemple de réglage par approche temporelle

### Résultats du réglage :

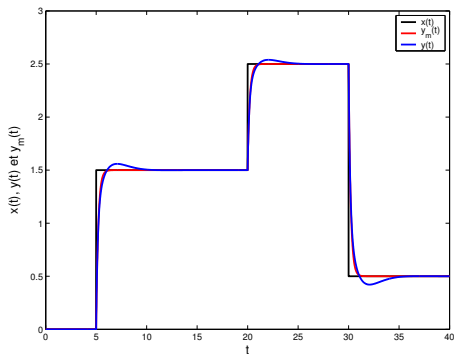
Comparaison entre  $x(t)$ ,  $y(t)$  et  $y_m(t)$  à l'itération 2



## 4.7 Un exemple de réglage par approche temporelle

### Résultats du réglage :

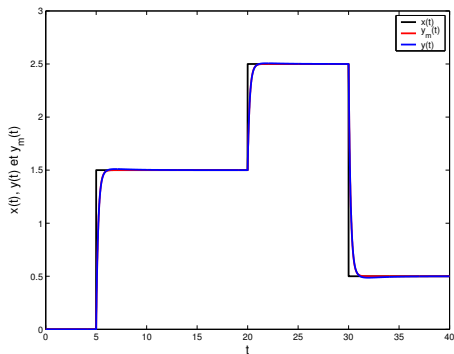
Comparaison entre  $x(t)$ ,  $y(t)$  et  $y_m(t)$  à l'itération 3



## 4.7 Un exemple de réglage par approche temporelle

### Résultats du réglage :

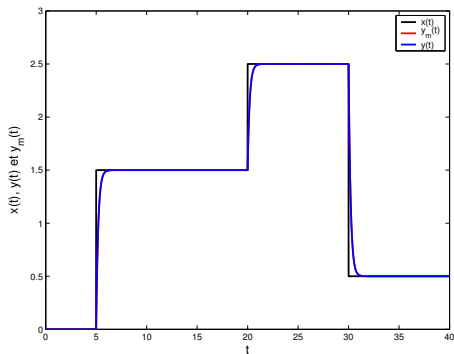
Comparaison entre  $x(t)$ ,  $y(t)$  et  $y_m(t)$  à l'itération 4



## 4.7 Un exemple de réglage par approche temporelle

### Résultats du réglage :

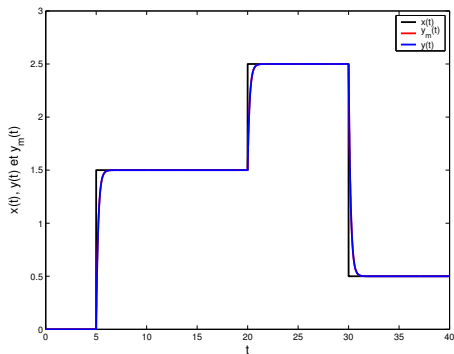
Comparaison entre  $x(t)$ ,  $y(t)$  et  $y_m(t)$  à l'itération 5



## 4.7 Un exemple de réglage par approche temporelle

### Résultats du réglage :

Comparaison entre  $x(t)$ ,  $y(t)$  et  $y_m(t)$  à l'itération 6



Le correcteur trouvé est :  $C(p) = \frac{5+15p+4.99p^2}{p}$

# 5.1 Introduction à l'identification

- **Définition de l'identification :**

caractériser le lien mathématique entre entrée(s) et sortie(s) à partir de connaissances et/ou de données expérimentales.

- **Origine du modèle :**

→ modèle de connaissance (modèles physiques, chimiques, etc.)

→ boîte noire (calage de paramètres à partir des données)

# 5.1 Introduction à l'identification

- **Définition de l'identification :**

caractériser le lien mathématique entre entrée(s) et sortie(s) à partir de connaissances et/ou de données expérimentales.

- **Origine du modèle :**

→ modèle de connaissance (modèles physiques, chimiques, etc.)

→ boîte noire (calage de paramètres à partir des données)

- **Nature du modèle :**

→ statique / dynamique

→ linéaire / non linéaire (en les paramètres et/ou les variables)

→ variables continues / discrètes

→ temps continu / discret

# 5.1 Introduction à l'identification

- **Définition de l'identification :**

caractériser le lien mathématique entre entrée(s) et sortie(s) à partir de connaissances et/ou de données expérimentales.

- **Origine du modèle :**

→ modèle de connaissance (modèles physiques, chimiques, etc.)

→ boîte noire (calage de paramètres à partir des données)

- **Nature du modèle :**

→ statique / dynamique

→ linéaire / non linéaire (en les paramètres et/ou les variables)

→ variables continues / discrètes

→ temps continu / discret

- **Utilisation :**

→ description et analyse (compréhension, analyse de sensibilité, etc)

→ simulation d'un procédé (dimensionnement, formation d'opérateurs, conception de correcteurs, etc)

→ surveillance (comparaison comportement réel / modèle de bon fonctionnement → alerte)

## 5.1 Étapes de la modélisation

- **Définition du système :**

→ frontières du système, choix des variables entrées/sorties, choix des paramètres à identifier

- **Définition du modèle :**

→ choix de la structure du modèle, choix de la nature du modèle, simplification

## 5.1 Étapes de la modélisation

- **Définition du système :**

→ frontières du système, choix des variables entrées/sorties, choix des paramètres à identifier

- **Définition du modèle :**

→ choix de la structure du modèle, choix de la nature du modèle, simplification

- **Identification de paramètres :**

→ détermination de la valeur des paramètres minimisant l'écart entre grandeurs modélisées et réelles

## 5.1 Étapes de la modélisation

- **Définition du système :**

→ frontières du système, choix des variables entrées/sorties, choix des paramètres à identifier

- **Définition du modèle :**

→ choix de la structure du modèle, choix de la nature du modèle, simplification

- **Identification de paramètres :**

→ détermination de la valeur des paramètres minimisant l'écart entre grandeurs modélisées et réelles

- **Validation de l'identification :**

→ comparaison des grandeurs modélisées et réelles sur un autre jeu de données (que celles ayant servi à l'identification)

## 5.2 Obtention d'un modèle statique

- **Modélisation statique :**

on cherche les paramètres d'une relation entrée / sortie du type :

$$y_m(t, \theta) = f(x(t), \theta)$$

où  $f(., .)$  est connue et avec :

- $y_m(t, \theta)$  est la sortie modélisée
- $x(t)$  est un vecteur d'entrée(s)
- $\theta$  est le vecteur de paramètres à déterminer

## 5.2 Obtention d'un modèle statique

- **Modélisation statique :**

on cherche les paramètres d'une relation entrée / sortie du type :

$$y_m(t, \theta) = f(x(t), \theta)$$

où  $f(., .)$  est connue et avec :

- $y_m(t, \theta)$  est la sortie modélisée
- $x(t)$  est un vecteur d'entrée(s)
- $\theta$  est le vecteur de paramètres à déterminer

- **Objectif :**

déterminer  $\theta$  qui minimise l'écart entre  $y_m(t, \theta)$  et  $y(t)$  :

$$J(\theta) = \frac{1}{2} \int_0^{\infty} (y_m(t, \theta) - y(t))^2 dt \approx \frac{1}{2} \sum_{k=1}^N (y_m(k, \theta) - y(k))^2$$

## 5.2 Obtention d'un modèle statique

- **Modélisation statique :**

on cherche les paramètres d'une relation entrée / sortie du type :

$$y_m(t, \theta) = f(x(t), \theta)$$

où  $f(., .)$  est connue et avec :

- $y_m(t, \theta)$  est la sortie modélisée
- $x(t)$  est un vecteur d'entrée(s)
- $\theta$  est le vecteur de paramètres à déterminer

- **Objectif :**

déterminer  $\theta$  qui minimise l'écart entre  $y_m(t, \theta)$  et  $y(t)$  :

$$J(\theta) = \frac{1}{2} \int_0^{\infty} (y_m(t, \theta) - y(t))^2 dt \approx \frac{1}{2} \sum_{k=1}^N (y_m(k, \theta) - y(k))^2$$

- **Résolution d'un problème d'optimisation :**

- $f(x, \theta)$  linéaire en  $\theta \rightarrow$  moindres carrés
- $f(x, \theta)$  non linéaire en  $\theta \rightarrow$  algorithme du gradient ou Newton-Raphson

## 5.2 Obtention d'un modèle statique linéaire

- On dispose d'un relevé de données à certains instants :

$$\{y(k)\}_{k=1,\dots,N}, \quad \{x_1(k)\}_{k=1,\dots,N}, \quad \dots, \quad \{x_n(k)\}_{k=1,\dots,N}$$

- Si les grandeurs sont corrélées linéairement, on peut écrire le modèle :

$$y_m(k, \theta) = a_0 + a_1 x_1(k) + \dots + a_n x_n(k)$$

## 5.2 Obtention d'un modèle statique linéaire

- On dispose d'un relevé de données à certains instants :

$$\{y(k)\}_{k=1,\dots,N}, \quad \{x_1(k)\}_{k=1,\dots,N}, \quad \dots, \quad \{x_n(k)\}_{k=1,\dots,N}$$

- Si les grandeurs sont corrélées linéairement, on peut écrire le modèle :

$$y_m(k, \theta) = a_0 + a_1 x_1(k) + \dots + a_n x_n(k)$$

- Par concaténation, on a un système de  $N$  équations à  $(n+1)$  inconnues :

$$\underbrace{\begin{bmatrix} y_m(1, \theta) \\ y_m(2, \theta) \\ \vdots \\ y_m(N, \theta) \end{bmatrix}}_{Y_m} = \underbrace{\begin{bmatrix} 1 & x_1(1) & x_2(1) & \dots & x_n(1) \\ 1 & x_1(2) & x_2(2) & \dots & x_n(2) \\ \vdots & \vdots & \vdots & \ddots & \vdots \\ 1 & x_1(N) & x_2(N) & \dots & x_n(N) \end{bmatrix}}_X \underbrace{\begin{bmatrix} a_0 \\ a_1 \\ \vdots \\ a_n \end{bmatrix}}_{\theta} \approx \underbrace{\begin{bmatrix} y(1) \\ y(2) \\ \vdots \\ y(N) \end{bmatrix}}_Y$$

## 5.2 Obtention d'un modèle statique linéaire

- On dispose d'un relevé de données à certains instants :

$$\{y(k)\}_{k=1,\dots,N}, \quad \{x_1(k)\}_{k=1,\dots,N}, \quad \dots, \quad \{x_n(k)\}_{k=1,\dots,N}$$

- Si les grandeurs sont corrélées linéairement, on peut écrire le modèle :

$$y_m(k, \theta) = a_0 + a_1 x_1(k) + \dots + a_n x_n(k)$$

- Par concaténation, on a un système de  $N$  équations à  $(n+1)$  inconnues :

$$\underbrace{\begin{bmatrix} y_m(1, \theta) \\ y_m(2, \theta) \\ \vdots \\ y_m(N, \theta) \end{bmatrix}}_{Y_m} = \underbrace{\begin{bmatrix} 1 & x_1(1) & x_2(1) & \dots & x_n(1) \\ 1 & x_1(2) & x_2(2) & \dots & x_n(2) \\ \vdots & \vdots & \vdots & \ddots & \vdots \\ 1 & x_1(N) & x_2(N) & \dots & x_n(N) \end{bmatrix}}_X \underbrace{\begin{bmatrix} a_0 \\ a_1 \\ \vdots \\ a_n \end{bmatrix}}_{\theta} \approx \underbrace{\begin{bmatrix} y(1) \\ y(2) \\ \vdots \\ y(N) \end{bmatrix}}_Y$$

- Minimisation de  $J(\theta) = \frac{1}{2} \sum_{k=1}^N (y_m(k, \theta) - y(k))^2$  par moindres carrés :

$$\theta = (X^T X)^{-1} X^T Y$$

## 5.2 Exemple d'identification de modèle statique linéaire

- On cherche à modéliser la pollution à l'ozone ( $O_3$ ) en fonction des taux de monoxyde d'azote ( $NO$ ) et de dioxyde d'azote ( $NO_2$ ), de l'humidité dans l'air ( $H$ ) et du rayonnement solaire ( $RS$ ).
- On dispose de plus de 15000 mesures de chaque grandeur (CUGN)

## 5.2 Exemple d'identification de modèle statique linéaire

- On cherche à modéliser la pollution à l'ozone ( $O_3$ ) en fonction des taux de monoxyde d'azote ( $NO$ ) et de dioxyde d'azote ( $NO_2$ ), de l'humidité dans l'air ( $H$ ) et du rayonnement solaire ( $RS$ ).
- On dispose de plus de 15000 mesures de chaque grandeur (CUGN)
- Coefficients de corrélation du taux de  $O_3$  avec les autres grandeurs :

	$NO$	$NO_2$	$RS$	$H$
$corr(O_3, *)$	-0.2820	-0.2907	0.6093	-0.7759

- On cherche les paramètres du modèle :

$$O_{3m}(k) = a_0 + a_1 NO(k) + a_2 NO_2(k) + a_3 RS(k) + a_4 H(k)$$

## 5.2 Exemple d'identification de modèle statique linéaire

- On cherche à modéliser la pollution à l'ozone ( $O_3$ ) en fonction des taux de monoxyde d'azote ( $NO$ ) et de dioxyde d'azote ( $NO_2$ ), de l'humidité dans l'air ( $H$ ) et du rayonnement solaire ( $RS$ ).
- On dispose de plus de 15000 mesures de chaque grandeur (CUGN)
- Coefficients de corrélation du taux de  $O_3$  avec les autres grandeurs :

	$NO$	$NO_2$	$RS$	$H$
$corr(O_3, *)$	-0.2820	-0.2907	0.6093	-0.7759

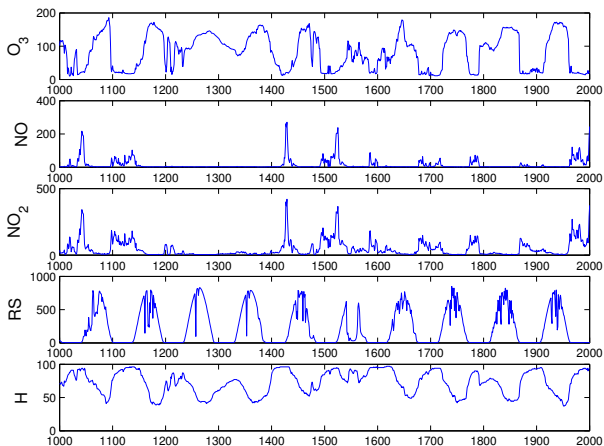
- On cherche les paramètres du modèle :

$$O_{3m}(k) = a_0 + a_1 NO(k) + a_2 NO_2(k) + a_3 RS(k) + a_4 H(k)$$

- Résultat :  $\theta = [223.8073 \ 1.1488 \ -0.8837 \ 0.0144 \ -1.6650]$   
→ erreur de modélisation de l'ordre de 10% de la valeur de  $O_3$ .

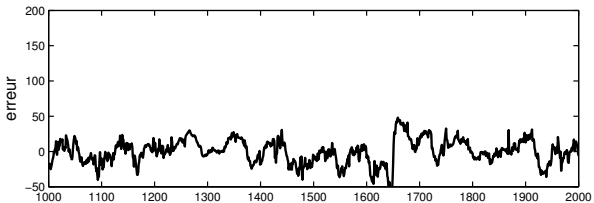
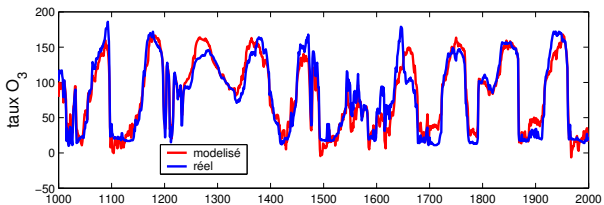
## 5.2 Exemple d'identification de modèle statique linéaire

Données utilisées pour la modélisation ( $k = 1000, \dots, 2000$ , soit 10 jours)



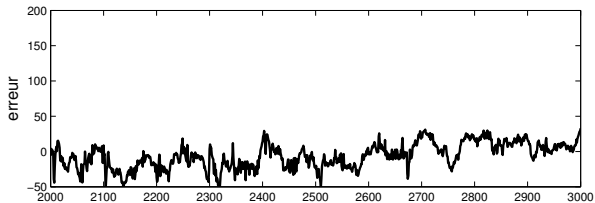
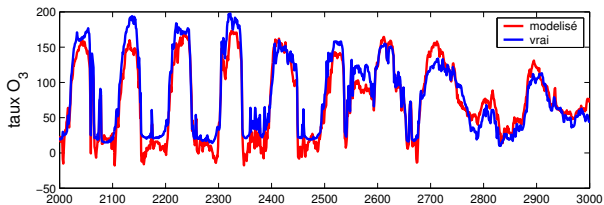
## 5.2 Exemple d'identification de modèle statique linéaire

Comparaison du taux de  $O_3$  réel et modélisé ( $k = 1000, \dots, 2000$ )



## 5.2 Exemple d'identification de modèle statique linéaire

Validation du modèle de  $O_3$  ( $k = 2000, \dots, 3000$ )



## 5.2 Extensions immédiates

- **Modèles non linéaires en l'entrée**, par exemple polynomial :

$$y_m(k, \theta) = a_0 + a_1x(k) + a_2x(k)^2 + \cdots + a_nx(k)^n$$

## 5.2 Extensions immédiates

- **Modèles non linéaires en l'entrée**, par exemple polynomial :

$$y_m(k, \theta) = a_0 + a_1x(k) + a_2x(k)^2 + \dots + a_nx(k)^n$$

- Par concaténation pour  $k = 1, \dots, N$ , il vient :

$$\underbrace{\begin{bmatrix} y_m(1, \theta) \\ y_m(2, \theta) \\ \vdots \\ y_m(N, \theta) \end{bmatrix}}_{Y_m} = \underbrace{\begin{bmatrix} 1 & x(1) & x(1)^2 & \dots & x(1)^n \\ 1 & x(2) & x(2)^2 & \dots & x(2)^n \\ \vdots & \vdots & \vdots & \ddots & \vdots \\ 1 & x(N) & x(N)^2 & \dots & x(N)^n \end{bmatrix}}_X \underbrace{\begin{bmatrix} a_0 \\ a_1 \\ \vdots \\ a_n \end{bmatrix}}_{\theta} \approx \underbrace{\begin{bmatrix} y(1) \\ y(2) \\ \vdots \\ y(N) \end{bmatrix}}_Y$$

- **Solution** de la minimisation de  $J(\theta) = (X\theta - Y)^T(X\theta - Y)$  :

$$\theta = (X^T X)^{-1} X^T Y$$

## 5.2 Extensions immédiates

- **Modèles non linéaires en l'entrée**, par exemple polynomial :

$$y_m(k, \theta) = a_0 + a_1x(k) + a_2x(k)^2 + \dots + a_nx(k)^n$$

- Par concaténation pour  $k = 1, \dots, N$ , il vient :

$$\underbrace{\begin{bmatrix} y_m(1, \theta) \\ y_m(2, \theta) \\ \vdots \\ y_m(N, \theta) \end{bmatrix}}_{Y_m} = \underbrace{\begin{bmatrix} 1 & x(1) & x(1)^2 & \dots & x(1)^n \\ 1 & x(2) & x(2)^2 & \dots & x(2)^n \\ \vdots & \vdots & \vdots & \ddots & \vdots \\ 1 & x(N) & x(N)^2 & \dots & x(N)^n \end{bmatrix}}_X \underbrace{\begin{bmatrix} a_0 \\ a_1 \\ \vdots \\ a_n \end{bmatrix}}_{\theta} \approx \underbrace{\begin{bmatrix} y(1) \\ y(2) \\ \vdots \\ y(N) \end{bmatrix}}_Y$$

- **Solution** de la minimisation de  $J(\theta) = (X\theta - Y)^T(X\theta - Y)$  :

$$\theta = (X^T X)^{-1} X^T Y$$

- Se généralise à tout modèle **linéaire en  $\theta$ , linéaire ou non en l'entrée**
- Pour un modèle non linéaire en  $\theta \rightarrow$  solutions itératives (Gradient, N-R)

## 5.2 Extension presque immédiate

- **Modèles dynamiques linéaires à temps discret**

$$y_m(k, \theta) = a_1 y_m(k-1, \theta) + a_2 y_m(k-2, \theta) + \cdots + a_n y_m(k-n, \theta) \\ + b_0 x(k) + b_1 x(k-1) + \cdots + b_m x(k-m), n \geq m$$

## 5.2 Extension presque immédiate

- **Modèles dynamiques linéaires à temps discret**

$$y_m(k, \theta) = a_1 y_m(k-1, \theta) + a_2 y_m(k-2, \theta) + \dots + a_n y_m(k-n, \theta) \\ + b_0 x(k) + b_1 x(k-1) + \dots + b_m x(k-m), n \geq m$$

- Par concaténation pour  $k = n+1, \dots, N$ , il vient :

$$\underbrace{\begin{bmatrix} y_m(n+1, \theta) \\ y_m(n+2, \theta) \\ \vdots \\ y_m(N, \theta) \end{bmatrix}}_{Y_m} = \underbrace{\begin{bmatrix} y(n) & \dots & y(1) & x(n+1) & \dots & x(n+1-m) \\ y(n+1) & \dots & y(2) & x(n+2) & \dots & x(n+2-m) \\ \vdots & \ddots & \vdots & \vdots & \ddots & \vdots \\ y(N-1) & \dots & y(N-n) & x(N) & \dots & x(N-m) \end{bmatrix}}_X \underbrace{\begin{bmatrix} a_1 \\ \vdots \\ a_n \\ b_0 \\ \vdots \\ b_m \end{bmatrix}}_{\theta} \approx \underbrace{\begin{bmatrix} y(n+1) \\ y(n+2) \\ \vdots \\ y(N) \end{bmatrix}}_Y$$

- **Solution** de la minimisation de  $J(\theta) = (X\theta - Y)^T(X\theta - Y)$  :

$$\theta = (X^T X)^{-1} X^T Y$$

## 5.2 Extension presque immédiate

- **Modèles dynamiques linéaires à temps discret**

$$y_m(k, \theta) = a_1 y_m(k-1, \theta) + a_2 y_m(k-2, \theta) + \dots + a_n y_m(k-n, \theta) \\ + b_0 x(k) + b_1 x(k-1) + \dots + b_m x(k-m), n \geq m$$

- Par concaténation pour  $k = n+1, \dots, N$ , il vient :

$$\underbrace{\begin{bmatrix} y_m(n+1, \theta) \\ y_m(n+2, \theta) \\ \vdots \\ y_m(N, \theta) \end{bmatrix}}_{Y_m} = \underbrace{\begin{bmatrix} y(n) & \dots & y(1) & x(n+1) & \dots & x(n+1-m) \\ y(n+1) & \dots & y(2) & x(n+2) & \dots & x(n+2-m) \\ \vdots & \ddots & \vdots & \vdots & \ddots & \vdots \\ y(N-1) & \dots & y(N-n) & x(N) & \dots & x(N-m) \end{bmatrix}}_X \underbrace{\begin{bmatrix} a_1 \\ \vdots \\ a_n \\ b_0 \\ \vdots \\ b_m \end{bmatrix}}_{\theta} \approx \underbrace{\begin{bmatrix} y(n+1) \\ y(n+2) \\ \vdots \\ y(N) \end{bmatrix}}_Y$$

- **Solution** de la minimisation de  $J(\theta) = (X\theta - Y)^T(X\theta - Y)$  :

$$\theta = (X^T X)^{-1} X^T Y$$

- Augmenter l'ordre du système ( $n$  et  $m$ ) tant que le critère  $J(\theta)$  diminue.

## 5.3 Obtention d'un modèle dynamique à temps continu

- On cherche un modèle entrée/sortie sous forme de fonction de transfert

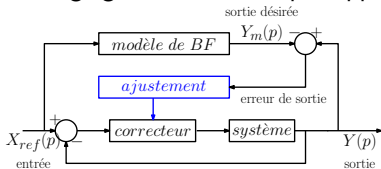
$$Y_m(p) = \frac{b_0 + b_1 p + \dots + b_m p^m}{a_0 + a_1 p + \dots + a_n p^n} X(p) \approx Y(p), \quad n \geq m$$

## 5.3 Obtention d'un modèle dynamique à temps continu

- On cherche un modèle entrée/sortie sous forme de fonction de transfert

$$Y_m(p) = \frac{b_0 + b_1 p + \dots + b_m p^m}{a_0 + a_1 p + \dots + a_n p^n} X(p) \approx Y(p), \quad n \geq m$$

- Problème analogue au réglage de correcteur par approche temporelle

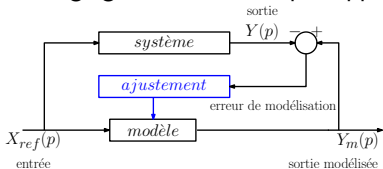


## 5.3 Obtention d'un modèle dynamique à temps continu

- On cherche un modèle entrée/sortie sous forme de fonction de transfert

$$Y_m(p) = \frac{b_0 + b_1 p + \dots + b_m p^m}{a_0 + a_1 p + \dots + a_n p^n} X(p) \approx Y(p), \quad n \geq m$$

- Problème analogue au réglage de correcteur par approche temporelle



- Solution identique par minimisation (gradient, Newton-Raphson) de :

$$J(\theta) = \frac{1}{2} \int_0^{\infty} (y_m(t, \theta) - y(t))^2 dt$$

avec  $\theta^T = [b_0 \ b_1 \ \dots \ b_m \ a_0 \ a_1 \ \dots \ a_n]$

## 5.3 Obtention d'un modèle dynamique à temps continu

- On cherche  $\theta^T = [b_0 \dots b_m \ a_0 \dots a_n]$  tq  $y(t) \approx y_m(t)$ , avec :

$$a_0 y_m(t, \theta) + a_1 \dot{y}_m(t, \theta) + \dots + a_n y_m(t, \theta)^{(n)} = b_0 x(t) + \dots + b_m x(t)^{(m)}$$

- Fonctions de sensibilité :**

$$\sigma_{a_k}(t) = \frac{\partial y_m(t, \theta)}{\partial a_k} \quad \text{et} \quad \sigma_{b_k}(t) = \frac{\partial y_m(t, \theta)}{\partial b_k}$$

## 5.3 Obtention d'un modèle dynamique à temps continu

- On cherche  $\theta^T = [b_0 \dots b_m \ a_0 \dots a_n]$  tq  $y(t) \approx y_m(t)$ , avec :

$$a_0 y_m(t, \theta) + a_1 \dot{y}_m(t, \theta) + \dots + a_n y_m(t, \theta)^{(n)} = b_0 x(t) + \dots + b_m x(t)^{(m)}$$

- Fonctions de sensibilité :**

$$\sigma_{a_k}(t) = \frac{\partial y_m(t, \theta)}{\partial a_k} \quad \text{et} \quad \sigma_{b_k}(t) = \frac{\partial y_m(t, \theta)}{\partial b_k}$$

- On peut montrer que :

$$\Sigma_{a_k}(p) = \frac{-p^k}{a_0 + \dots + a_n p^n} Y_m(p) \quad \text{et} \quad \Sigma_{b_k}(p) = \frac{p^k}{a_0 + \dots + a_n p^n} X(p)$$

## 5.3 Obtention d'un modèle dynamique à temps continu

- On cherche  $\theta^T = [b_0 \dots b_m \ a_0 \dots a_n]$  tq  $y(t) \approx y_m(t)$ , avec :

$$a_0 y_m(t, \theta) + a_1 \dot{y}_m(t, \theta) + \dots + a_n y_m(t, \theta)^{(n)} = b_0 x(t) + \dots + b_m x(t)^{(m)}$$

- Fonctions de sensibilité :**

$$\sigma_{a_k}(t) = \frac{\partial y_m(t, \theta)}{\partial a_k} \quad \text{et} \quad \sigma_{b_k}(t) = \frac{\partial y_m(t, \theta)}{\partial b_k}$$

- On peut montrer que :

$$\Sigma_{a_k}(p) = \frac{-p^k}{a_0 + \dots + a_n p^n} Y_m(p) \quad \text{et} \quad \Sigma_{b_k}(p) = \frac{p^k}{a_0 + \dots + a_n p^n} X(p)$$

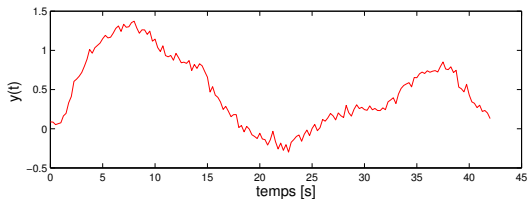
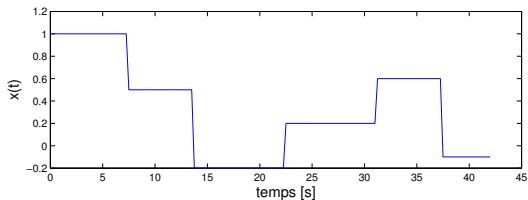
- Pour  $\theta$  fixé, on peut calculer le gradient et le hessien de  $J(\theta)$  :

$$\frac{\partial J(\theta)}{\partial \theta} = \int_0^\infty \left( \frac{\partial y_m}{\partial \theta} \right) (y_m - y) \quad \text{et} \quad \frac{\partial^2 J(\theta)}{\partial \theta^2} \approx \int_0^\infty \left( \frac{\partial y_m}{\partial \theta} \right) \left( \frac{\partial y_m}{\partial \theta} \right)^T$$

→ **Solution itérative** pour trouver  $\theta$  qui minimise  $J(\theta)$

## 5.3 Exemple d'identification de modèle dynamique

- On a les données entrées / sorties



- On cherche un modèle de la forme : 
$$Y_m(p) = \frac{b_0}{a_3 p^3 + a_2 p^2 + a_1 p + 1} X(p)$$

## 5.3 Exemple d'identification de modèle dynamique

-1- Initialisation :  $k = 0$ ,  $\theta^0 = [\dots]$ , précision  $\varepsilon = \dots$

## 5.3 Exemple d'identification de modèle dynamique

-1- Initialisation :  $k = 0$ ,  $\theta^0 = [\dots]$ , précision  $\varepsilon = \dots$

-2- Simulation de  $y_m(t)$  :  $Y_m(p) = \frac{\theta_1^k}{1 + \theta_2^k p + \theta_3^k p^2 + \theta_4^k p^3} X(p)$

-3- Simulation des fonctions de sensibilité :

$$\Sigma_{a_1}(p) = \frac{-p}{1 + \theta_2^k p + \theta_3^k p^2 + \theta_4^k p^3} Y_m(p) \quad \Sigma_{a_2}(p) = \frac{-p^2}{1 + \theta_2^k p + \theta_3^k p^2 + \theta_4^k p^3} Y_m(p)$$

$$\Sigma_{a_3}(p) = \frac{-p^3}{1 + \theta_2^k p + \theta_3^k p^2 + \theta_4^k p^3} Y_m(p) \quad \Sigma_{b_0}(p) = \frac{1}{1 + \theta_2^k p + \theta_3^k p^2 + \theta_4^k p^3} X(p)$$

## 5.3 Exemple d'identification de modèle dynamique

-1- Initialisation :  $k = 0$ ,  $\theta^0 = [\dots]$ , précision  $\varepsilon = \dots$

-2- Simulation de  $y_m(t)$  :  $Y_m(p) = \frac{\theta_1^k}{1 + \theta_2^k p + \theta_3^k p^2 + \theta_4^k p^3} X(p)$

-3- Simulation des fonctions de sensibilité :

$$\Sigma_{a_1}(p) = \frac{-p}{1 + \theta_2^k p + \theta_3^k p^2 + \theta_4^k p^3} Y_m(p) \quad \Sigma_{a_2}(p) = \frac{-p^2}{1 + \theta_2^k p + \theta_3^k p^2 + \theta_4^k p^3} Y_m(p)$$

$$\Sigma_{a_3}(p) = \frac{-p^3}{1 + \theta_2^k p + \theta_3^k p^2 + \theta_4^k p^3} Y_m(p) \quad \Sigma_{b_0}(p) = \frac{1}{1 + \theta_2^k p + \theta_3^k p^2 + \theta_4^k p^3} X(p)$$

-4- Calcul du gradient et du Hessien (sommes de Riemann) :

$$J'(\theta^k) \approx T_e \begin{bmatrix} \sigma_{a_1}(1) & \sigma_{a_1}(2) & \dots & \sigma_{a_1}(N) \\ \vdots & \vdots & \ddots & \vdots \\ \sigma_{b_0}(1) & \sigma_{b_0}(2) & \dots & \sigma_{b_0}(N) \end{bmatrix} \begin{bmatrix} y_m(1) - y(1) \\ \vdots \\ y_m(N) - y(N) \end{bmatrix}$$
$$J''(\theta^k) \approx T_e \begin{bmatrix} \sigma_{a_1}(1) & \sigma_{a_1}(2) & \dots & \sigma_{a_1}(N) \\ \vdots & \vdots & \ddots & \vdots \\ \sigma_{b_0}(1) & \sigma_{b_0}(2) & \dots & \sigma_{b_0}(N) \end{bmatrix} \begin{bmatrix} \sigma_{a_1}(1) & \sigma_{a_1}(2) & \dots & \sigma_{a_1}(N) \\ \vdots & \vdots & \ddots & \vdots \\ \sigma_{b_0}(1) & \sigma_{b_0}(2) & \dots & \sigma_{b_0}(N) \end{bmatrix}^T$$

-5- Actualisation de  $\theta^k$  :  $\theta^{k+1} = \theta^k - (J''(\theta^k))^{-1} J'(\theta^k)$

## 5.3 Exemple d'identification de modèle dynamique

-1- Initialisation :  $k = 0$ ,  $\theta^0 = [\dots]$ , précision  $\varepsilon = \dots$

-2- Simulation de  $y_m(t)$  :  $Y_m(p) = \frac{\theta_1^k}{1 + \theta_2^k p + \theta_3^k p^2 + \theta_4^k p^3} X(p)$

-3- Simulation des fonctions de sensibilité :

$$\Sigma_{a_1}(p) = \frac{-p}{1 + \theta_2^k p + \theta_3^k p^2 + \theta_4^k p^3} Y_m(p) \quad \Sigma_{a_2}(p) = \frac{-p^2}{1 + \theta_2^k p + \theta_3^k p^2 + \theta_4^k p^3} Y_m(p)$$

$$\Sigma_{a_3}(p) = \frac{-p^3}{1 + \theta_2^k p + \theta_3^k p^2 + \theta_4^k p^3} Y_m(p) \quad \Sigma_{b_0}(p) = \frac{1}{1 + \theta_2^k p + \theta_3^k p^2 + \theta_4^k p^3} X(p)$$

-4- Calcul du gradient et du Hessien (sommes de Riemann) :

$$J'(\theta^k) \approx T_e \begin{bmatrix} \sigma_{a_1}(1) & \sigma_{a_1}(2) & \dots & \sigma_{a_1}(N) \\ \vdots & \vdots & \ddots & \vdots \\ \sigma_{b_0}(1) & \sigma_{b_0}(2) & \dots & \sigma_{b_0}(N) \end{bmatrix} \begin{bmatrix} y_m(1) - y(1) \\ \vdots \\ y_m(N) - y(N) \end{bmatrix}$$
$$J''(\theta^k) \approx T_e \begin{bmatrix} \sigma_{a_1}(1) & \sigma_{a_1}(2) & \dots & \sigma_{a_1}(N) \\ \vdots & \vdots & \ddots & \vdots \\ \sigma_{b_0}(1) & \sigma_{b_0}(2) & \dots & \sigma_{b_0}(N) \end{bmatrix} \begin{bmatrix} \sigma_{a_1}(1) & \sigma_{a_1}(2) & \dots & \sigma_{a_1}(N) \\ \vdots & \vdots & \ddots & \vdots \\ \sigma_{b_0}(1) & \sigma_{b_0}(2) & \dots & \sigma_{b_0}(N) \end{bmatrix}^T$$

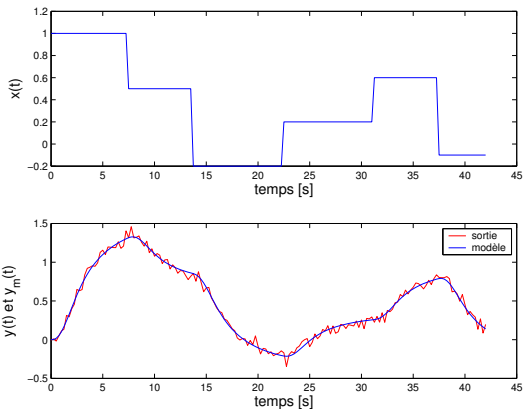
-5- Actualisation de  $\theta^k$  :  $\theta^{k+1} = \theta^k - (J''(\theta^k))^{-1} J'(\theta^k)$

-6- Test d'arrêt :

si  $|J'(\theta^k)| > \varepsilon$ , alors  $k \leftarrow (k+1)$  et aller en -2- ; sinon, FIN

## 5.3 Exemple d'identification de modèle dynamique

- Comparaison des données entrée / sortie et de la sortie du modèle



- Le modèle trouvé est : 
$$Y_m(p) = \frac{1.497}{1.274p^3 + 3.191p^2 + 4.021p + 1} X(p)$$